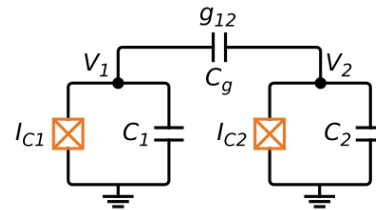


QH5 - Qubits supraconducteurs II

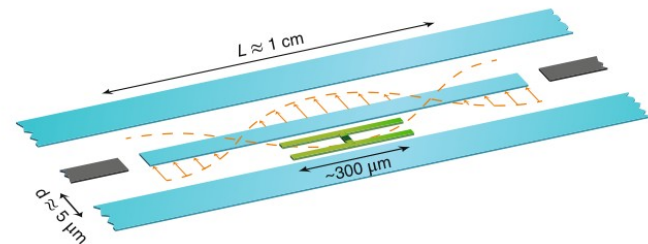
1. Manipuler un qubit : les portes X, Y et Z



2. Couplage de 2 qubits



3. Lecture d'un Qubit avec une cav



Architecture d'un processeur quantique

Sycamore : Processeur de Google

54 qubits (1 non-fonctionnel)

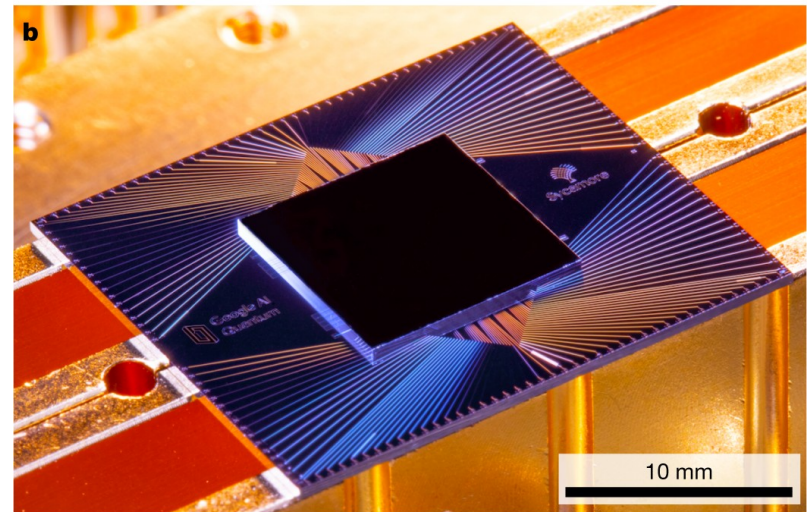
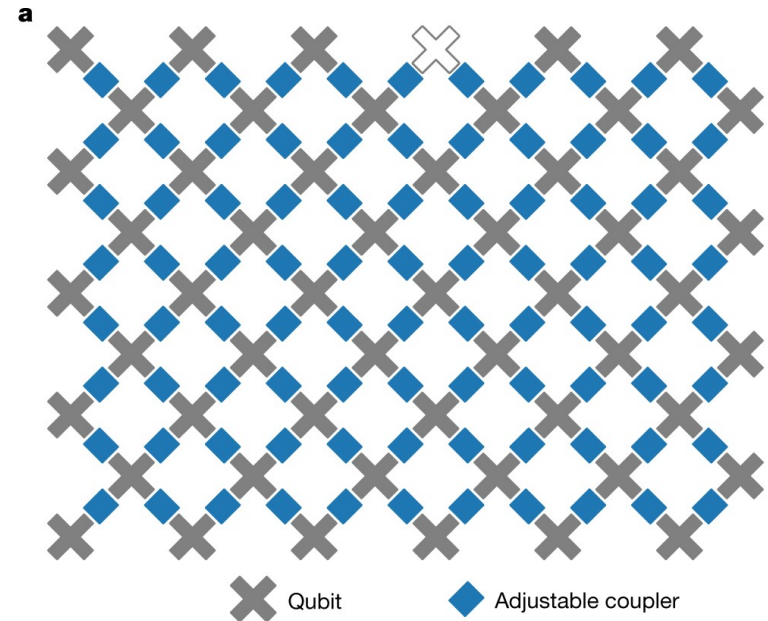
Fréquences ajustables

86 couplages ajustables (proches voisins)

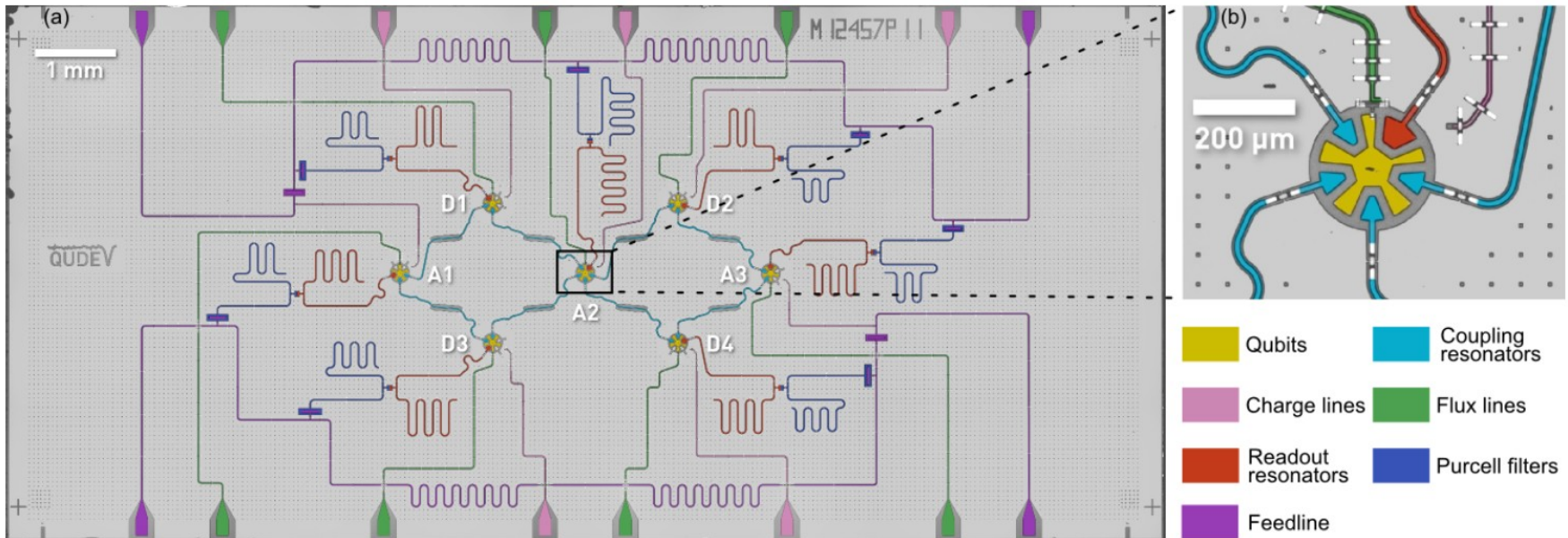
Portes à 1 qubit

Portes à 2 qubits

Portes simultanées sur tout le réseau



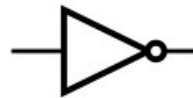
Architecture d'un processeur quantique



Andersen, C.K., Remm, A., Lazar, S. *et al.* Repeated quantum error detection in a surface code. *Nat. Phys.* **16**, 875–880 (2020)

Portes classiques (1 et 2 bits)

NOT The output is 1 when the input is 0 and 0 when the input is 1.



Input		Output
0		1
1		0

AND The output is 1 only when both inputs are 1, otherwise the output is 0.



Input		Output
0	0	0
0	1	0
1	0	0
1	1	1

OR The output is 0 only when both inputs are 0, otherwise the output is 1.



Input		Output
0	0	0
0	1	1
1	0	1
1	1	1

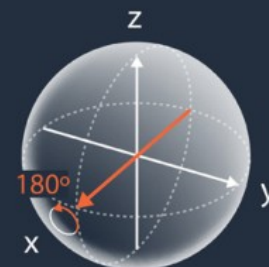
Portes à 1 qubit

X gate:
rotates the
qubit state by
 π radians
(180 ) about
the x-axis.



$$X = \begin{pmatrix} 0 & 1 \\ 1 & 0 \end{pmatrix}$$

Input	Output
$ 0\rangle$	$ 1\rangle$
$ 1\rangle$	$ 0\rangle$

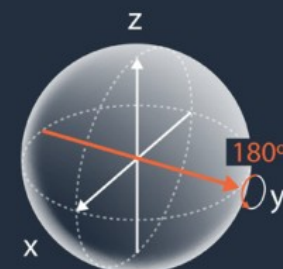


Y gate:
rotates the
qubit state by
 π radians
(180 ) about
the y-axis.



$$Y = \begin{pmatrix} 0 & -i \\ i & 0 \end{pmatrix}$$

Input	Output
$ 0\rangle$	$i 1\rangle$
$ 1\rangle$	$-i 0\rangle$

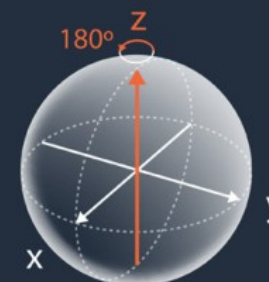


Z gate:
rotates the
qubit state by
 π radians
(180 ) about
the z-axis.



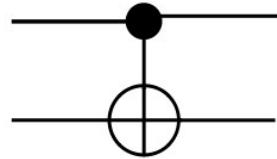
$$Z = \begin{pmatrix} 1 & 0 \\ 0 & -1 \end{pmatrix}$$

Input	Output
$ 0\rangle$	$ 0\rangle$
$ 1\rangle$	$- 1\rangle$



Portes à 2 qubits

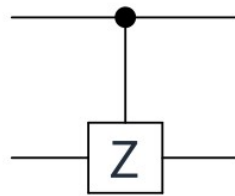
Controlled-NOT gate:
apply an X-gate to the
target qubit if the
control qubit is in state
 $|1\rangle$



$$\text{CNOT} = \begin{pmatrix} 1 & 0 & 0 & 0 \\ 0 & 1 & 0 & 0 \\ 0 & 0 & 0 & 1 \\ 0 & 0 & 1 & 0 \end{pmatrix}$$

Input	Output
$ 00\rangle$	$ 00\rangle$
$ 01\rangle$	$ 01\rangle$
$ 10\rangle$	$ 11\rangle$
$ 11\rangle$	$ 10\rangle$

Controlled-phase gate:
apply a Z-gate to the
target qubit if the
control qubit is in
state $|1\rangle$



$$\text{CPHASE} = \begin{pmatrix} 1 & 0 & 0 & 0 \\ 0 & 1 & 0 & 0 \\ 0 & 0 & 1 & 0 \\ 0 & 0 & 0 & -1 \end{pmatrix}$$

Input	Output
$ 00\rangle$	$ 00\rangle$
$ 01\rangle$	$ 01\rangle$
$ 10\rangle$	$ 10\rangle$
$ 11\rangle$	$- 11\rangle$

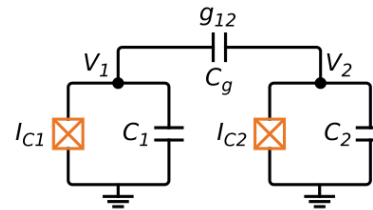
An example of universal quantum gate set :

QH3 - Qubits supraconducteurs II

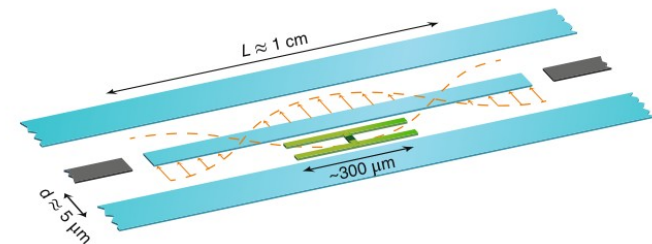
1. Manipuler un qubit : les portes X, Y et Z



2. Couplage de 2 qubits

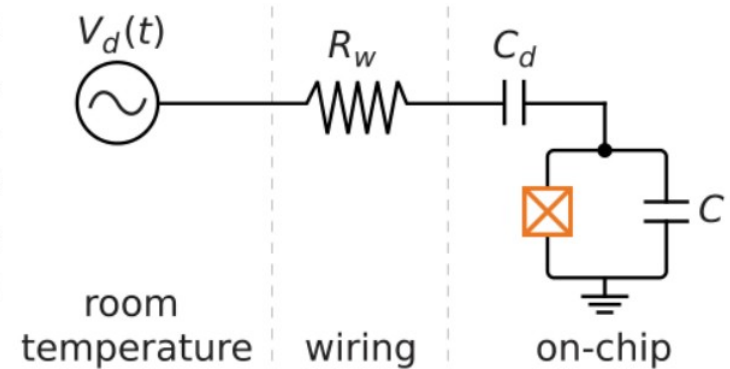


3. Lecture d'un Qubit avec une cav



Manipulation d'un qubit supraconducteur

Contrôler l'état d'un qubit, c'est-à-dire de transformer son état arbitrairement entre deux points de la sphère de Bloch, est essentielle à la mise en œuvre d'un ordinateur quantique. Cela s'effectue par le biais de transformations unitaires (portes), qui correspondent à des rotations autour des trois axes dans la représentation de la sphère de Bloch, réalisées en pratique avec des impulsions micro-onde.

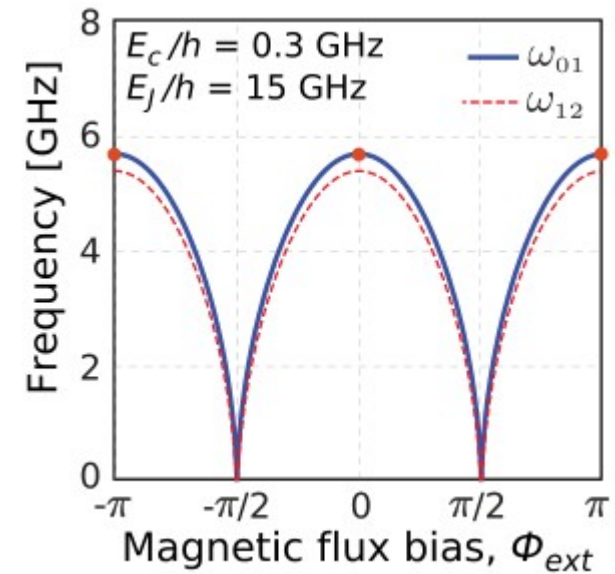


1.1. Considérons un transmon composé d'un SQUID plutôt qu'une jonction Josephson unique et dont la fréquence est alors ajustable. Proposez un protocole pour effectuer une porte Z_π .

Rappel : Qubit ajustable avec un SQUID

SQUID : Superconducting QUantum Interference Device

Energie Josephson ajustable
=> Fr quence du qubit ajustable



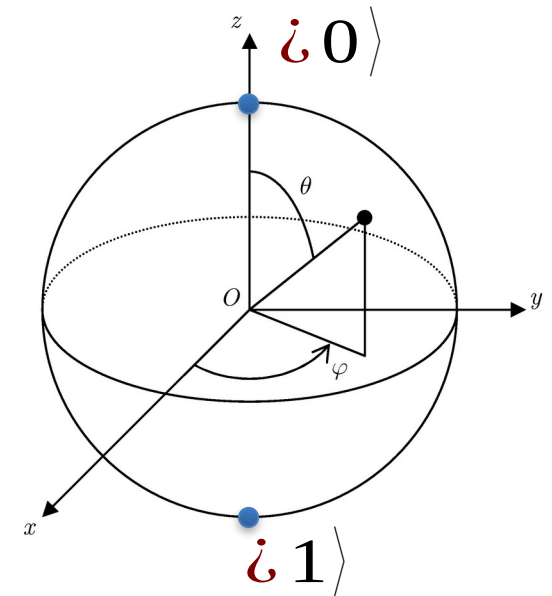
1.1. Considérons un transmon composé d'un SQUID plutôt qu'une jonction Josephson unique et dont la fréquence est alors ajustable. Proposez un protocole pour effectuer une porte Z_π .

Un qubit dans un état arbitraire est décrit par le ket

$$|\psi\rangle = e^{-i\varphi/2} \cos \frac{\theta}{2} |0\rangle + e^{i\varphi/2} \sin \frac{\theta}{2} |1\rangle$$

avec θ et φ les angles définissant l'état du qubit dans la sphère de Bloch.

L'Hamiltonien étant $H = \frac{1}{2} \hbar \omega_J \sigma_z$, ces angles sont fixes dans le référentiel tournant à la fréquence ω_J .



1.1. Considérons un transmon composé d'un SQUID plutôt qu'une jonction Josephson unique et dont la fréquence est alors ajustable. Proposez un protocole pour effectuer une porte Z_π .

Un qubit dans un état arbitraire est décrit par le ket

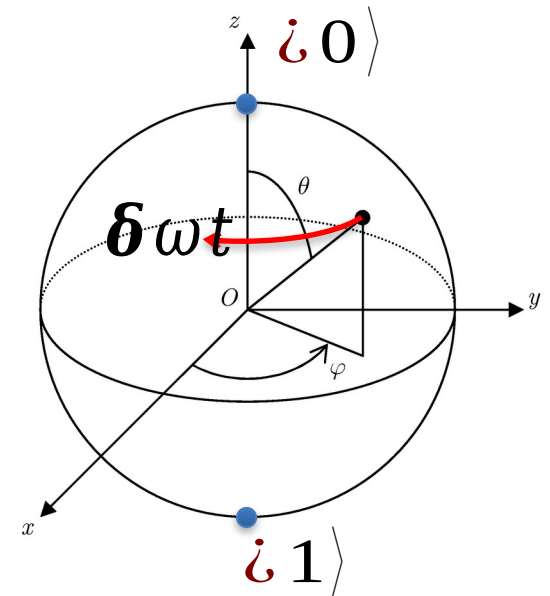
$$|\psi\rangle = e^{-i\varphi/2} \cos \frac{\theta}{2} |0\rangle + e^{i\varphi/2} \sin \frac{\theta}{2} |1\rangle$$

avec θ et φ les angles définissant l'état du qubit dans la sphère de Bloch.

L'Hamiltonien étant $H = \frac{\Phi}{2\pi} \frac{\partial}{\partial \varphi}$, ces angles sont fixes dans le référentiel tournant à la fréquence ω .

En revanche, si on ajuste la fréquence du qubit à la fréquence ω en utilisant un champ magnétique pour modifier le flux dans la boucle du SQUID, l'évolution devient

$$|\psi(t)\rangle = e^{-i\frac{\varphi}{2}} \cos \frac{\theta}{2} |0\rangle + e^{i\left(\frac{\varphi}{2} - \delta\omega t\right)} \sin \frac{\theta}{2} |1\rangle$$

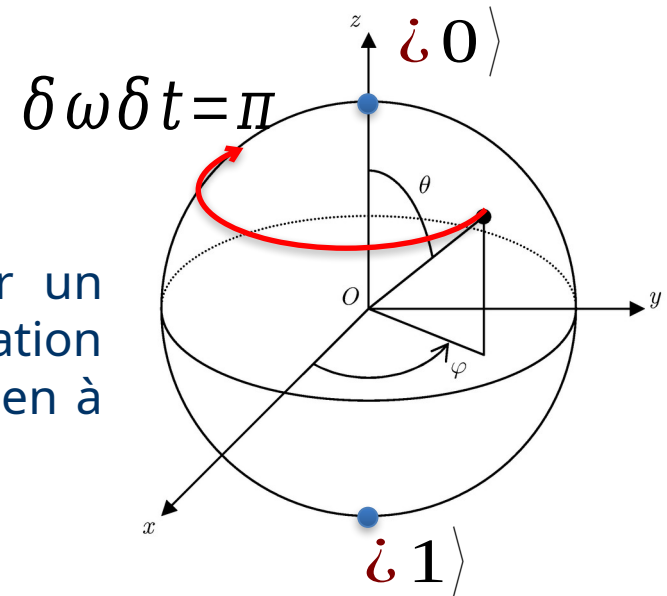


Manipulation d'un qubit supraconducteur

$$| \psi(t) \rangle = e^{-i \frac{\varphi}{2}} \cos \frac{\theta}{2} | 0 \rangle + e^{i \left(\frac{\varphi}{2} - \delta \omega t \right)} \sin \frac{\theta}{2} | 1 \rangle$$

Le flux dans la boucle peut- tre ajust  pour un temps de sorte que . On effectue ainsi une rotation d'angle autour de l'axe z, ce qui correspond bien   une porte .

$$| \psi \left(\delta t = \frac{\pi}{\delta \omega} \right) \rangle = e^{-i \frac{\varphi}{2}} \cos \frac{\theta}{2} | 0 \rangle - e^{i \frac{\varphi}{2}} \sin \frac{\theta}{2} | 1 \rangle$$

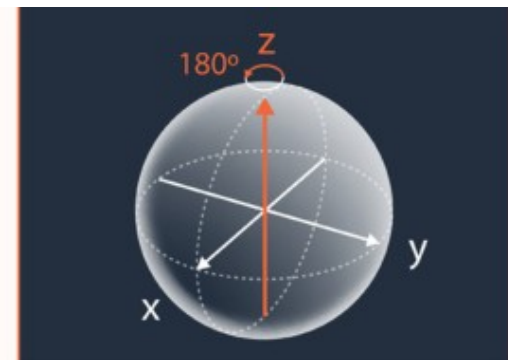


Z gate:
rotates the
qubit state by
 π radians
(180 ) about
the z-axis.

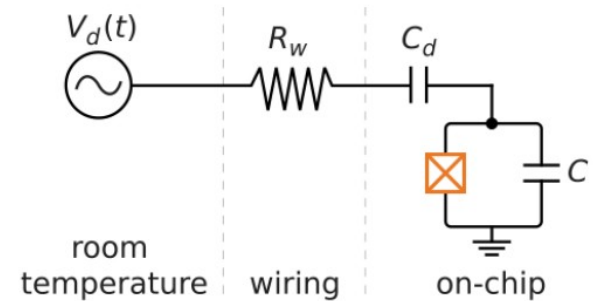


$$Z = \begin{pmatrix} 1 & 0 \\ 0 & -1 \end{pmatrix}$$

Input	Output
$ 0\rangle$	$ 0\rangle$
$ 1\rangle$	$- 1\rangle$



1.2. Pour effectuer des portes X_θ ou Y_θ , on utilise une source de tension micro-onde, comme sur le schéma. Expliquer pourquoi on branche cette source à travers une capacité de couplage C_d plutôt que directement sur le transmon. Remarque: Ici, " d " fait référence à "drive".

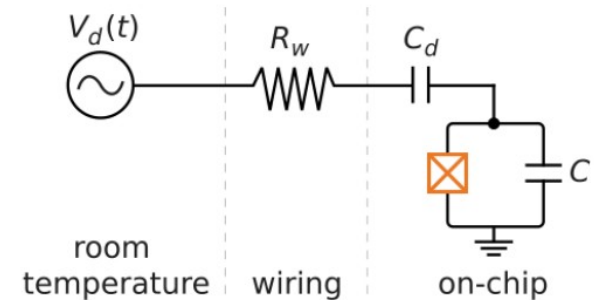


1.2. Pour effectuer des portes X_θ ou Y_θ , on utilise une source de tension micro-onde, comme sur le schéma. Expliquer pourquoi on branche cette source à travers une capacité de couplage C_d plutôt que directement sur le transmon. Remarque: Ici, "d" fait référence à "drive".

Le condensateur est nécessaire pour éviter que le circuit de drive ne ruine complètement la cohérence du circuit principal. Sans le condensateur, le facteur de qualité du circuit serait

$$Q = \frac{R_w}{Z}$$

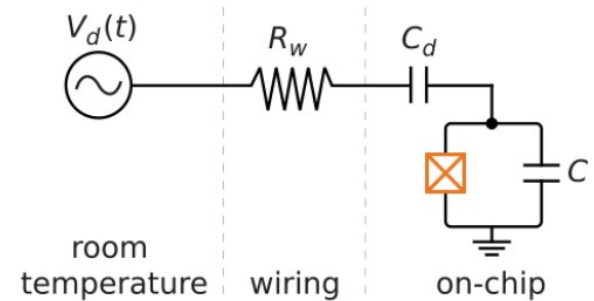
où Z est l'impédance caractéristique du qubit.



En pratique R_w vaut environ 10 Ohm et Z vaut 50 Ohm (impédance caractéristique des cables coaxiaux). Ce qui fait des facteurs de qualité très bas et donc de faible cohérence (quelques oscillations avant amortissement).

1.2. Pour effectuer des portes X_θ ou Y_θ , on utilise une source de tension micro-onde, comme sur le schéma. Expliquer pourquoi on branche cette source à travers une capacité de couplage C_d plutôt que directement sur le transmon. Remarque: Ici, " d " fait référence à "drive".

Le condensateur de couplage permet de préserver la cohérence du circuit. Si est suffisamment petit, son impédance est grande et donc le courant traversant est réduit. **Par conséquent, empêche le processus par lequel l'énergie de l'oscillateur entre dans et est perdue.** Cependant, le découplage de la ligne de drive limite également **la vitesse avec laquelle nous pouvons contrôler le qubit**, il faut donc trouver un équilibre.

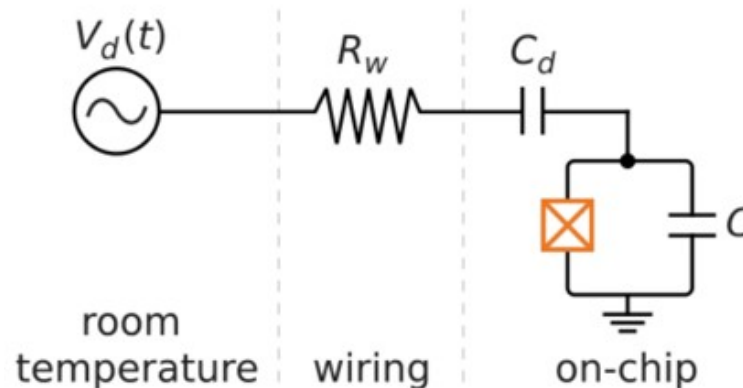


1.3. Pour ce circuit, on peut écrire l'Hamiltonien du système total

$$\hat{H} = \frac{\hat{Q}^2}{2C_\Sigma} - E_J \cos \frac{\hat{\Phi}}{\Phi_0} + \frac{C_d}{C_\Sigma} V_d(t) \hat{Q}$$

où $C_\Sigma = C + C_d$ et \hat{Q} est la charge totale aux bornes des condensateurs (*i.e.* $Q_C - Q_d$). Montrer que l'on retrouve bien des lois classiques correctes à partir de \hat{H} .

Ehrenfest généralisé : $\frac{d\langle \hat{A} \rangle}{dt} = \left\langle \frac{\partial \hat{A}}{\partial t} \right\rangle + \frac{1}{i\hbar} \langle [\hat{A}, \hat{H}] \rangle$

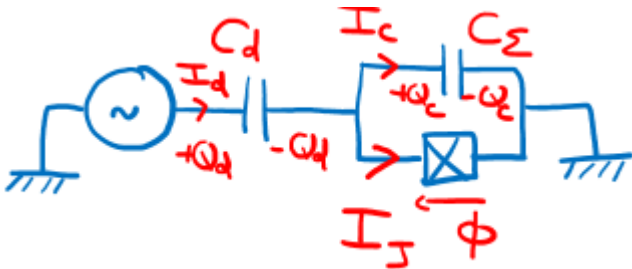


1.3. Pour ce circuit, on peut écrire l'Hamiltonien du système total

$$\hat{H} = \frac{\hat{Q}^2}{2C_\Sigma} - E_J \cos \frac{\hat{\Phi}}{\Phi_0} + \frac{C_d}{C_\Sigma} V_d(t) \hat{Q}$$

où $C_\Sigma = C + C_d$ et \hat{Q} est la charge totale aux bornes des condensateurs (*i.e.* $Q_C - Q_d$). Montrer que l'on retrouve bien des lois classiques correctes à partir de \hat{H} .

Ehrenfest généralisé :
$$\frac{d\langle \hat{A} \rangle}{dt} = \left\langle \frac{\partial \hat{A}}{\partial t} \right\rangle + \frac{1}{i\hbar} \langle [\hat{A}, \hat{H}] \rangle$$



$$I_J = \langle \hat{\Phi} \rangle / L_J ?$$

1.3. Pour ce circuit, on peut écrire l'Hamiltonien du système total

$$\hat{H} = \frac{\hat{Q}^2}{2C_\Sigma} - E_J \cos \frac{\hat{\Phi}}{\Phi_0} + \frac{C_d}{C_\Sigma} V_d(t) \hat{Q}$$

où $C_\Sigma = C + C_d$ et \hat{Q} est la charge totale aux bornes des condensateurs (*i.e.* $Q_C - Q_d$). Montrer que l'on retrouve bien des lois classiques correctes à partir de \hat{H} .

1.3. Pour ce circuit, on peut écrire l'Hamiltonien du système total

$$\hat{H} = \frac{\hat{Q}^2}{2C_\Sigma} - E_J \cos \frac{\hat{\Phi}}{\Phi_0} + \frac{C_d}{C_\Sigma} V_d(t) \hat{Q}$$

où $C_\Sigma = C + C_d$ et \hat{Q} est la charge totale aux bornes des condensateurs (*i.e.* $Q_C - Q_d$). Montrer que l'on retrouve bien des lois classiques correctes à partir de \hat{H} .

1.3. Pour ce circuit, on peut écrire l'Hamiltonien du système total

$$\hat{H} = \frac{\hat{Q}^2}{2C_\Sigma} - E_J \cos \frac{\hat{\Phi}}{\Phi_0} + \frac{C_d}{C_\Sigma} V_d(t) \hat{Q}$$

où $C_\Sigma = C + C_d$ et \hat{Q} est la charge totale aux bornes des condensateurs (*i.e.* $Q_C - Q_d$). Montrer que l'on retrouve bien des lois classiques correctes à partir de \hat{H} .

1.4. Ecrire le terme de couplage avec la source en fonction des opérateurs d'échelle \hat{a} et \hat{a}^\dagger

$$\hat{a} = \frac{\hat{\Phi}}{\sqrt{2\hbar\omega_0 L_J}} + i \frac{\hat{Q}}{\sqrt{2\hbar\omega_0 C_\Sigma}} \quad \text{et} \quad \hat{a}^\dagger = \frac{\hat{\Phi}}{\sqrt{2\hbar\omega_0 L_J}} - i \frac{\hat{Q}}{\sqrt{2\hbar\omega_0 C_\Sigma}}$$

où $\omega_0 = 1/\sqrt{L_J C_\Sigma}$. On pourra introduire la notation $Q_{zpf} = \sqrt{\hbar/2Z_{LC}}$ où $Z_{LC} = \sqrt{L_J/C}$ que l'on commentera.

$$\frac{C_d}{C_\Sigma} V_d(t) \hat{Q} = ?$$

1.4. Ecrire le terme de couplage avec la source en fonction des opérateurs d'échelle \hat{a} et \hat{a}^\dagger

$$\hat{a} = \frac{\hat{\Phi}}{\sqrt{2\hbar\omega_0 L_J}} + i \frac{\hat{Q}}{\sqrt{2\hbar\omega_0 C_\Sigma}} \quad \text{et} \quad \hat{a}^\dagger = \frac{\hat{\Phi}}{\sqrt{2\hbar\omega_0 L_J}} - i \frac{\hat{Q}}{\sqrt{2\hbar\omega_0 C_\Sigma}}$$

où $\omega_0 = 1/\sqrt{L_J C_\Sigma}$. On pourra introduire la notation $Q_{zpf} = \sqrt{\hbar/2Z_{LC}}$ où $Z_{LC} = \sqrt{L_J/C}$ que l'on commentera.

Le terme de couplage s'écrit, il prend donc la forme

$$\frac{C_d}{C_\Sigma} V_d(t) \hat{Q} = \frac{C_d}{C_\Sigma} V_d(t) Q_{zpf} \frac{(\hat{a} - \hat{a}^\dagger)}{i} \quad \text{avec}$$

est l'impédance caractéristique du qubit et sont les fluctuations de point zéro de charge. Cela signifie que même dans le fondamental, il existe des fluctuations de charge quantiques dans le circuit

$$\Delta Q = \sqrt{\langle 0 | \hat{Q}^2 | 0 \rangle - \langle 0 | \hat{Q} | 0 \rangle^2} = Q_{zpf} \approx 10 \text{ électrons !}$$

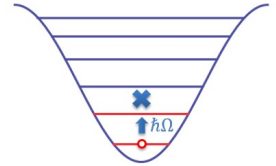
1.5. En se restreignant au sous-espace $\{|0\rangle, |1\rangle\}$ du qubit de fréquence ω_q , écrire \hat{H} avec les matrices de Pauli

$$\hat{\sigma}_x = \begin{pmatrix} 0 & 1 \\ 1 & 0 \end{pmatrix}, \quad \hat{\sigma}_y = \begin{pmatrix} 0 & -i \\ i & 0 \end{pmatrix}, \quad \hat{\sigma}_z = \begin{pmatrix} 1 & 0 \\ 0 & -1 \end{pmatrix}.$$

Quel autre système physique obéit à un tel Hamiltonien ?

$$\hat{H} = \frac{\hat{Q}^2}{2C_\Sigma} - E_J \cos \frac{\hat{\Phi}}{\Phi_0} + \frac{C_d}{C_\Sigma} V_d(t) \hat{Q}$$

$$\frac{C_d}{C_\Sigma} V_d(t) \hat{Q} = \frac{C_d}{C_\Sigma} V_d(t) Q_{zpf} \frac{(\hat{a} - \hat{a}^\dagger)}{i}$$



$$\frac{(\hat{a} - \hat{a}^\dagger)}{i} |0\rangle = i |1\rangle$$

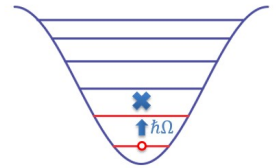
$$\frac{(\hat{a} - \hat{a}^\dagger)}{i} |1\rangle = -i |0\rangle$$

1.5. En se restreignant au sous-espace $\{|0\rangle, |1\rangle\}$ du qubit de fr quence ω_q ,  crire \hat{H} avec les matrices de Pauli

$$\hat{\sigma}_x = \begin{pmatrix} 0 & 1 \\ 1 & 0 \end{pmatrix}, \quad \hat{\sigma}_y = \begin{pmatrix} 0 & -i \\ i & 0 \end{pmatrix}, \quad \hat{\sigma}_z = \begin{pmatrix} 1 & 0 \\ 0 & -1 \end{pmatrix}.$$

Quel autre syst me physique ob it   un tel Hamiltonien ?

On a vu au cours pr c dent que l'anharmonicit  du circuit nous permettait de nous restreindre aux  tats $|0\rangle$ et $|1\rangle$. L'Hamiltonien sans couplage peut ainsi s' crire



$$\hat{H}_0 = -\frac{\hbar \omega_q}{2} \hat{\sigma}_z$$

Quant au couplage on peut l' crire

avec

$$\frac{(\hat{a} - \hat{a}^\dagger)}{i} |0\rangle = i |1\rangle$$

$$\frac{(\hat{a} - \hat{a}^\dagger)}{i} |1\rangle = -i |0\rangle$$

car

on peut donc effectuer le remplacement $\frac{(\hat{a} - \hat{a}^\dagger)}{i} \rightarrow \hat{\sigma}_y = \begin{pmatrix} 0 & -i \\ i & 0 \end{pmatrix}$

1.5. En se restreignant au sous-espace $\{|0\rangle, |1\rangle\}$ du qubit de fr quence ω_q ,  crire \hat{H} avec les matrices de Pauli

$$\hat{\sigma}_x = \begin{pmatrix} 0 & 1 \\ 1 & 0 \end{pmatrix}, \quad \hat{\sigma}_y = \begin{pmatrix} 0 & -i \\ i & 0 \end{pmatrix}, \quad \hat{\sigma}_z = \begin{pmatrix} 1 & 0 \\ 0 & -1 \end{pmatrix}.$$

Quel autre syst me physique ob it   un tel Hamiltonien ?

In fine, l'Hamiltonien total s' crit

$$\hat{H} = \hat{H}_0 + \hat{H}_d = -\frac{\hbar \omega_q}{2} \hat{\sigma}_z + \Omega V_d(t) \hat{\sigma}_y \quad \text{avec}$$

On peut remarquer qu'il s'agit de l'Hamiltonien d'un spin $\frac{1}{2}$ dans un champ magn tique variable temporellement orient  le long de l'axe y. Cela rappelle la RMN.

1.6. On veut élucider l'effet d'une tension oscillante $V_d(t) = V_0 \sin(\omega_d t + \phi)$. On se place pour cela dans le référentiel tournant à la fréquence ω_q . Un état arbitraire $|\psi\rangle$ devient alors $e^{-i\frac{\omega_q}{2}\sigma_z t}|\psi\rangle$. A quel Hamiltonien effectif obéit ce nouvel état ? On pourra faire le calcul pour $\phi = 0$ et $\pi/2$.

$$\hat{H} = \hat{H}_0 + \hat{H}_d = -\frac{\hbar\omega_q}{2}\hat{\sigma}_z + \Omega V_d(t)\hat{\sigma}_y$$

1.6. On veut  lucider l'effet d'une tension oscillante $V_d(t) = V_0 \sin(\omega_d t + \phi)$. On se place pour cela dans le r f rentiel tournant   la fr quence ω_q . Un  tat arbitraire $|\psi\rangle$ devient alors $e^{-i\frac{\omega_q}{2}\hat{\sigma}_z t}|\psi\rangle$. A quel Hamiltonien effectif ob it ce nouvel  tat ? On pourra faire le calcul pour $\phi = 0$ et $\pi/2$.

Le ket v rifie l' quation de Schr dinger

$$i\hbar \frac{d|\psi\rangle}{dt} = \hat{H}|\psi\rangle$$

Le m me  tat dans le r f rentiel tournant v rifie

$$\frac{d|\psi_{rf}\rangle}{dt} = \frac{i\omega_q}{2}\hat{\sigma}_z e^{\frac{i\omega_q}{2}\hat{\sigma}_z t}|\psi\rangle + e^{\frac{i\omega_q}{2}\hat{\sigma}_z t} \frac{d|\psi\rangle}{dt}$$

$$\hat{H} = \hat{H}_0 + \hat{H}_d = -\frac{\hbar\omega_q}{2}\hat{\sigma}_z + \Omega V_d(t)\hat{\sigma}_y$$

1.6. On veut  lucider l'effet d'une tension oscillante $V_d(t) = V_0 \sin(\omega_d t + \phi)$. On se place pour cela dans le r f rentiel tournant   la fr quence ω_q . Un  tat arbitraire $|\psi\rangle$ devient alors $e^{-i\frac{\omega_q}{2}\hat{\sigma}_z t}|\psi\rangle$. A quel Hamiltonien effectif ob it ce nouvel  tat ? On pourra faire le calcul pour $\phi = 0$ et $\pi/2$.

Le ket v rifie l' quation de Schr dinger

$$i\hbar \frac{d|\psi\rangle}{dt} = \hat{H}|\psi\rangle$$

Le m me  tat dans le r f rentiel tournant v rifie

$$\frac{d|\psi_{rf}\rangle}{dt} = \frac{i\omega_q}{2}\hat{\sigma}_z e^{\frac{i\omega_q}{2}\hat{\sigma}_z t}|\psi\rangle + e^{\frac{i\omega_q}{2}\hat{\sigma}_z t} \frac{d|\psi\rangle}{dt}$$

$$\hat{H} = \hat{H}_0 + \hat{H}_d = -\frac{\hbar\omega_q}{2}\hat{\sigma}_z + \Omega V_d(t)\hat{\sigma}_y$$

1.6. On veut  lucider l'effet d'une tension oscillante $V_d(t) = V_0 \sin(\omega_d t + \phi)$. On se place pour cela dans le r f rentiel tournant   la fr quence ω_q . Un  tat arbitraire $|\psi\rangle$ devient alors $e^{-i\frac{\omega_q}{2}\hat{\sigma}_z t}|\psi\rangle$. A quel Hamiltonien effectif ob it ce nouvel  tat ? On pourra faire le calcul pour $\phi = 0$ et $\pi/2$.

Le ket v rifie l' quation de Schr dinger

$$i\hbar \frac{d|\psi\rangle}{dt} = \hat{H}|\psi\rangle$$

Le m me  tat dans le r f rentiel tournant v rifie

$$\frac{d|\psi_{rf}\rangle}{dt} = \frac{i\omega_q}{2}\hat{\sigma}_z e^{\frac{i\omega_q}{2}\hat{\sigma}_z t}|\psi\rangle + e^{\frac{i\omega_q}{2}\hat{\sigma}_z t} \frac{d|\psi\rangle}{dt}$$

$$+ \frac{i\omega_q}{2}\hat{\sigma}_z |\psi_{rf}\rangle + e^{\frac{i\omega_q}{2}\hat{\sigma}_z t} \frac{\hat{H}}{i\hbar} e^{-\frac{i\omega_q}{2}\hat{\sigma}_z t} |\psi_{rf}\rangle$$

$$\hat{H} = \hat{H}_0 + \hat{H}_d = -\frac{\hbar\omega_q}{2}\hat{\sigma}_z + \Omega V_d(t)\hat{\sigma}_y$$

1.6. On veut élucider l'effet d'une tension oscillante $V_d(t) = V_0 \sin(\omega_d t + \phi)$. On se place pour cela dans le référentiel tournant à la fréquence ω_q . Un état arbitraire $|\psi\rangle$ devient alors $e^{-i\frac{\omega_q}{2}\hat{\sigma}_z t}|\psi\rangle$. A quel Hamiltonien effectif obéit ce nouvel état ? On pourra faire le calcul pour $\phi = 0$ et $\pi/2$.

Le ket vérifie l'équation de Schrödinger

$$i\hbar \frac{d|\psi\rangle}{dt} = \hat{H}|\psi\rangle$$

Le même état dans le référentiel tournant vérifie

$$\frac{d|\psi_{rf}\rangle}{dt} = \frac{i\omega_q}{2}\hat{\sigma}_z e^{\frac{i\omega_q}{2}\hat{\sigma}_z t}|\psi\rangle + e^{\frac{i\omega_q}{2}\hat{\sigma}_z t} \frac{d|\psi\rangle}{dt}$$

$$+ \frac{i\omega_q}{2}\hat{\sigma}_z |\psi_{rf}\rangle + e^{\frac{i\omega_q}{2}\hat{\sigma}_z t} \frac{\hat{H}}{i\hbar} e^{-\frac{i\omega_q}{2}\hat{\sigma}_z t} |\psi_{rf}\rangle$$

$$+ e^{\frac{i\omega_q}{2}\hat{\sigma}_z t} \frac{\hat{H}_d}{i\hbar} e^{-\frac{i\omega_q}{2}\hat{\sigma}_z t} |\psi_{rf}\rangle$$

avec

car commute avec .

$$e^{\frac{i\omega_q}{2}\hat{\sigma}_z t} \hat{\sigma}_y e^{-\frac{i\omega_q}{2}\hat{\sigma}_z t} = i$$

D'o 

$$i\hbar \frac{d|\psi_{rf}\rangle}{dt} = e^{\frac{i\omega_q}{2}\hat{\sigma}_z t} \Omega V_d(t) \hat{\sigma}_y e^{-\frac{i\omega_q}{2}\hat{\sigma}_z t} |\psi_{rf}\rangle = \Omega V_d(t) (\cos(\omega_q t) \hat{\sigma}_y - \sin(\omega_q t) \hat{\sigma}_x) |\psi_{rf}\rangle$$

L'état obéit donc bien à un Hamiltonien effectif

$$\hat{H}_{eff} = \Omega V_d(t) (\cos(\omega_q t) \hat{\sigma}_y - \sin(\omega_q t) \hat{\sigma}_x) \quad \text{avec}$$

Si on choisit et cela donne

$$\begin{aligned} \hat{H}_{eff} = & \Omega V_0 \sin(\omega_q t) (\cos(\omega_q t) \hat{\sigma}_y - \sin(\omega_q t) \hat{\sigma}_x) \\ & + \frac{\Omega V_0}{2} (\sin(2\omega_q t) \hat{\sigma}_y - (1 - \cos^2(\omega_q t)) \hat{\sigma}_x) \end{aligned}$$

L' tat ob  it donc bien   un Hamiltonien effectif

$$\hat{H}_{eff} = \Omega V_d(t) \left(\cos(\omega_q t) \hat{\sigma}_y - \sin(\omega_q t) \hat{\sigma}_x \right) \quad \text{avec}$$

Si on choisit $V_d(t) = V_0 \sin(\omega_q t)$ et cela donne

$$\begin{aligned} \hat{H}_{eff} &= \Omega V_0 \sin(\omega_q t) \left(\cos(\omega_q t) \hat{\sigma}_y - \sin(\omega_q t) \hat{\sigma}_x \right) \\ &= \frac{\Omega V_0}{2} \left(\sin(2\omega_q t) \hat{\sigma}_y - (1 - \cos^2(\omega_q t)) \hat{\sigma}_x \right) \end{aligned}$$

En premi re approximation, les termes oscillant rapidement   la fr quence peuvent  tre ignor s car ils se moyennent   0 sur les  chelles de temps qui nous int ressent (il s'agit de l'approximation de l'onde tournante ou RWA).

$$\text{soit} \quad \hat{H}_{eff} \approx -\frac{\Omega V_0}{2} \hat{\sigma}_x$$

$$\text{Pour } V_d(t) = V_0 \cos(\omega_q t) \text{ cela donne} \quad \hat{H}_{eff} \approx -\frac{\Omega V_0}{2} \hat{\sigma}_y$$

1.7. Le qubit est dans l'état $|0\rangle$ à l'instant t . Donner son évolution dans la base tournante pour $\phi = 0$.

$$\hat{H}_{eff} \approx -\frac{\Omega V_0}{2} \hat{\sigma}_x$$

1.7. Le qubit est dans l'état $|0\rangle$ à l'instant t . Donner son évolution dans la base tournante pour $\phi = 0$.

Si le qubit est dans l'état dans le référentiel du labo à l'instant , alors il est aussi dans l'état dans le référentiel tournant (car).

1.7. Le qubit est dans l'état $|0\rangle$ à l'instant t . Donner son évolution dans la base tournante pour $\phi = 0$.

Si le qubit est dans l'état dans le référentiel du labo à l'instant , alors il est aussi dans l'état dans le référentiel tournant (car).

Pour , on a qui a pour état propre et énergie propre

1.7. Le qubit est dans l' tat $|0\rangle$   l'instant t . Donner son  volution dans la base tournante pour $\phi = 0$.

Si le qubit est dans l' tat dans le r f rentiel du labo   l'instant , alors il est aussi dans l' tat dans le r f rentiel tournant (car).

Pour , on a qui a pour  tat propre et  nergie propre



$$E_{+\hbar} = -\frac{\Omega V_0}{2}\hbar$$

$$|-\rangle = \frac{|0\rangle - |1\rangle}{\sqrt{2}}$$

$$E_- = \frac{+\Omega V_0}{2}$$

1.7. Le qubit est dans l'état $|0\rangle$ à l'instant t . Donner son évolution dans la base tournante pour $\phi = 0$.

Si le qubit est dans l'état dans le référentiel du labo à l'instant , alors il est aussi dans l'état dans le référentiel tournant (car).

Pour , on a qui a pour état propre et énergie propre



$$E_{+} = -\frac{\Omega V_0}{2}$$

$$|-\rangle = \frac{|0\rangle - |1\rangle}{\sqrt{2}}$$

$$E_{-} = \frac{+\Omega V_0}{2}$$

On a donc $|0\rangle = \frac{1}{\sqrt{2}}(|-\rangle + |+\rangle)$ ce qui donne l'évolution dans la base tournante

$$|\psi_{rf}(t)\rangle = e^{i\frac{\Omega V_0}{2}t} \frac{1}{\sqrt{2}}(|-\rangle + |+\rangle)$$

1.8. Calculer alors la probabilité de le mesurer dans l'état $|1\rangle$ en fonction du temps dans le référentiel du laboratoire. Proposer un protocole pour faire un “bit-flip”.



1.8. Calculer alors la probabilit  de le mesurer dans l' tat $|1\rangle$ en fonction du temps dans le r f rentiel du laboratoire. Proposer un protocole pour faire un "bit-flip".

La probabilit  de mesurer le qubit dans l' tat est alors donn  par

$$\mathcal{P}_{|1\rangle} = \left\| \Pi_{|1\rangle} |\psi(t)\rangle \right\|^2 = \left| \langle 1 | \psi(t) \rangle \right|^2$$

o  est l' tat du qubit dans le r f rentiel du laboratoire.

1.8. Calculer alors la probabilité de le mesurer dans l'état $|1\rangle$ en fonction du temps dans le référentiel du laboratoire. Proposer un protocole pour faire un "bit-flip".

La probabilité de mesurer le qubit dans l'état est alors donné par

$$\mathcal{P}_{|1\rangle} = \left| \langle 1 | \psi(t) \rangle \right|^2 = \left| \langle 1 | \psi(t) \rangle \right|^2$$

où est l'état du qubit dans le référentiel du laboratoire.
Or . On a donc (en appliquant l'opérateur unitaire sur)

$$\mathcal{P}_{|1\rangle} = \left| \langle 1 | \psi_{rf}(t) \rangle \right|^2 \quad \text{avec} \quad \left| \psi_{rf}(t) \right\rangle = e^{i \frac{\Omega V_0}{2} t} \mathcal{I} \left| - \right\rangle$$

$$\left| - \right\rangle = \frac{|0\rangle - |1\rangle}{\sqrt{2}}$$

$$\mathcal{P}_{|1\rangle} = ?$$

1.8. Calculer alors la probabilit  de le mesurer dans l' tat $|1\rangle$ en fonction du temps dans le r f rentiel du laboratoire. Proposer un protocole pour faire un "bit-flip".

La probabilit  de mesurer le qubit dans l' tat est alors donn  par

$$\mathcal{P}_{|1\rangle} = \left| \langle 1 | \psi(t) \rangle \right|^2 = \left| \langle 1 | \psi(t) \rangle \right|^2$$

o  est l' tat du qubit dans le r f rentiel du laboratoire.
Or . On a donc (en appliquant l'op rateur unitaire sur)

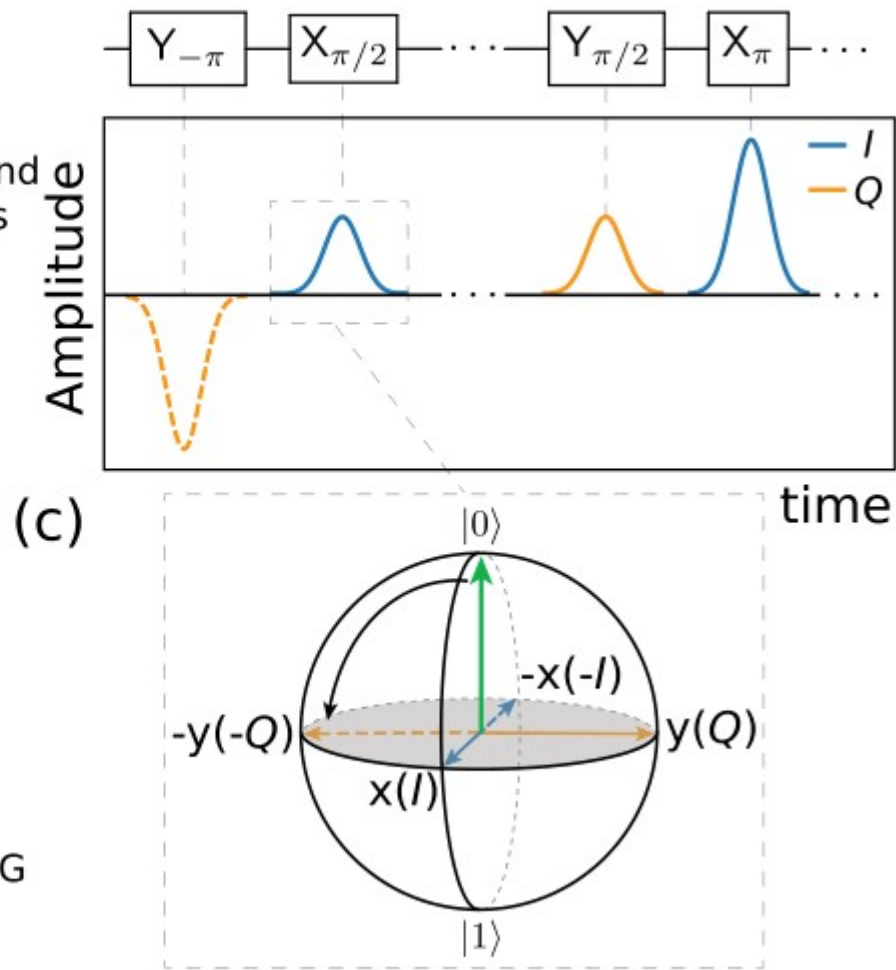
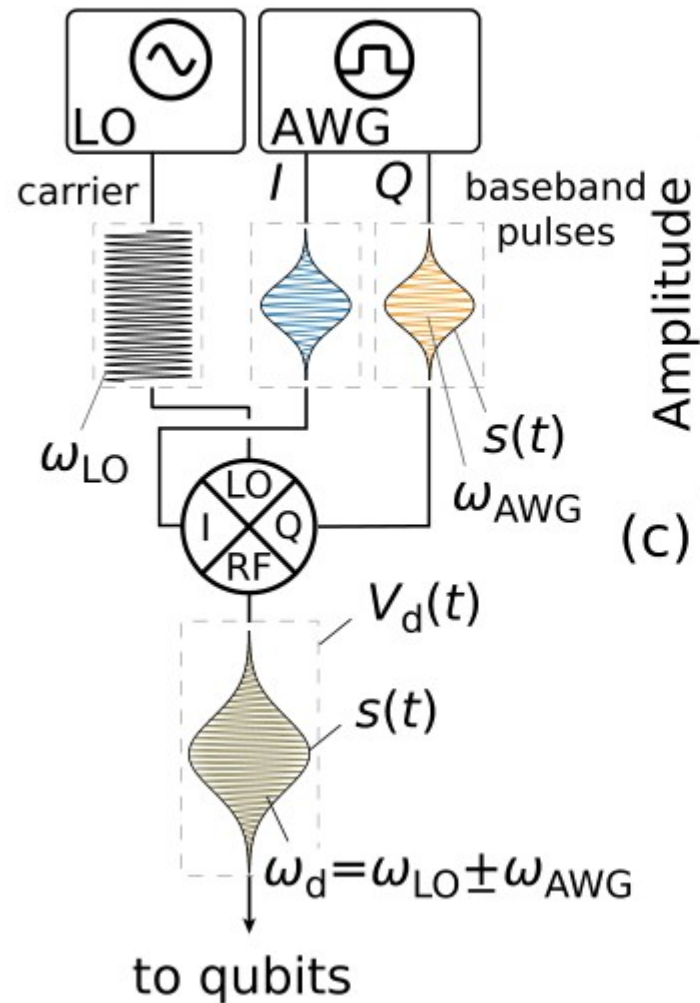
$$\mathcal{P}_{|1\rangle} = \left| \langle 1 | \psi_{rf}(t) \rangle \right|^2 \quad \text{avec} \quad \left| \psi_{rf}(t) \right\rangle = e^{i \frac{\Omega V_0}{2} t} \mathcal{I} \left| - \right\rangle$$

$$\left| - \right\rangle = \frac{|0\rangle - |1\rangle}{\sqrt{2}}$$

$$\mathcal{P}_{|1\rangle} = \sin^2 \frac{\Omega V_0}{2} t$$

On peut donc effectuer un bit flip gr ce   une impulsion de dur e

avec



On m lange un signal haute fr quence     une enveloppe .

Des d cennies de d veloppement pour les t l communications

Vector Network Analyzer



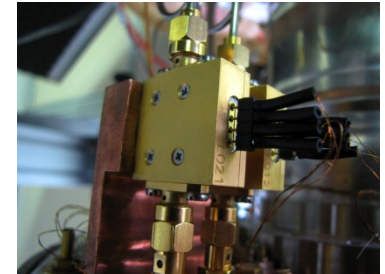
Cable



Directional coupler



Amplifier



Microwave generator

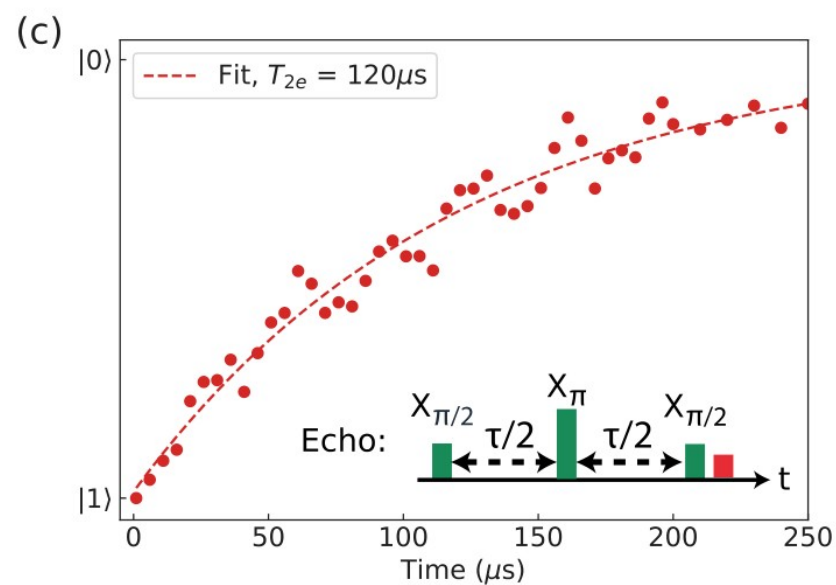
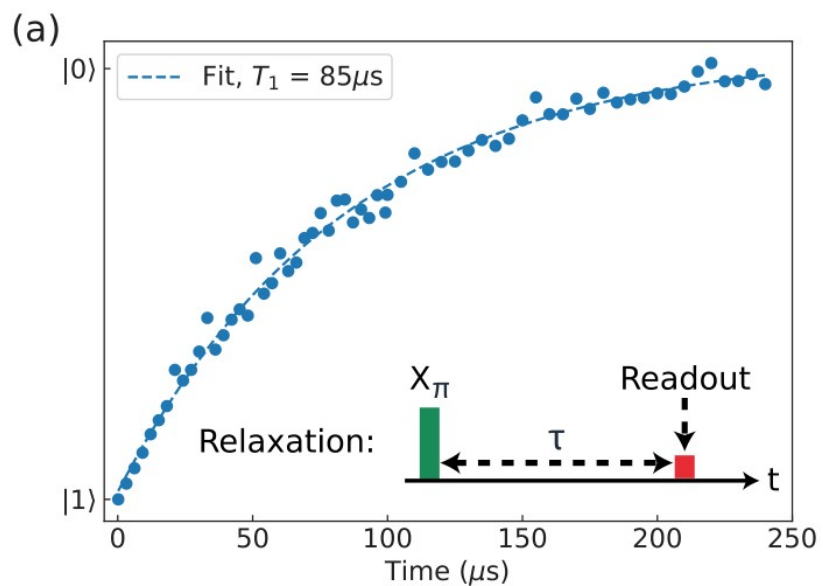


Circulator

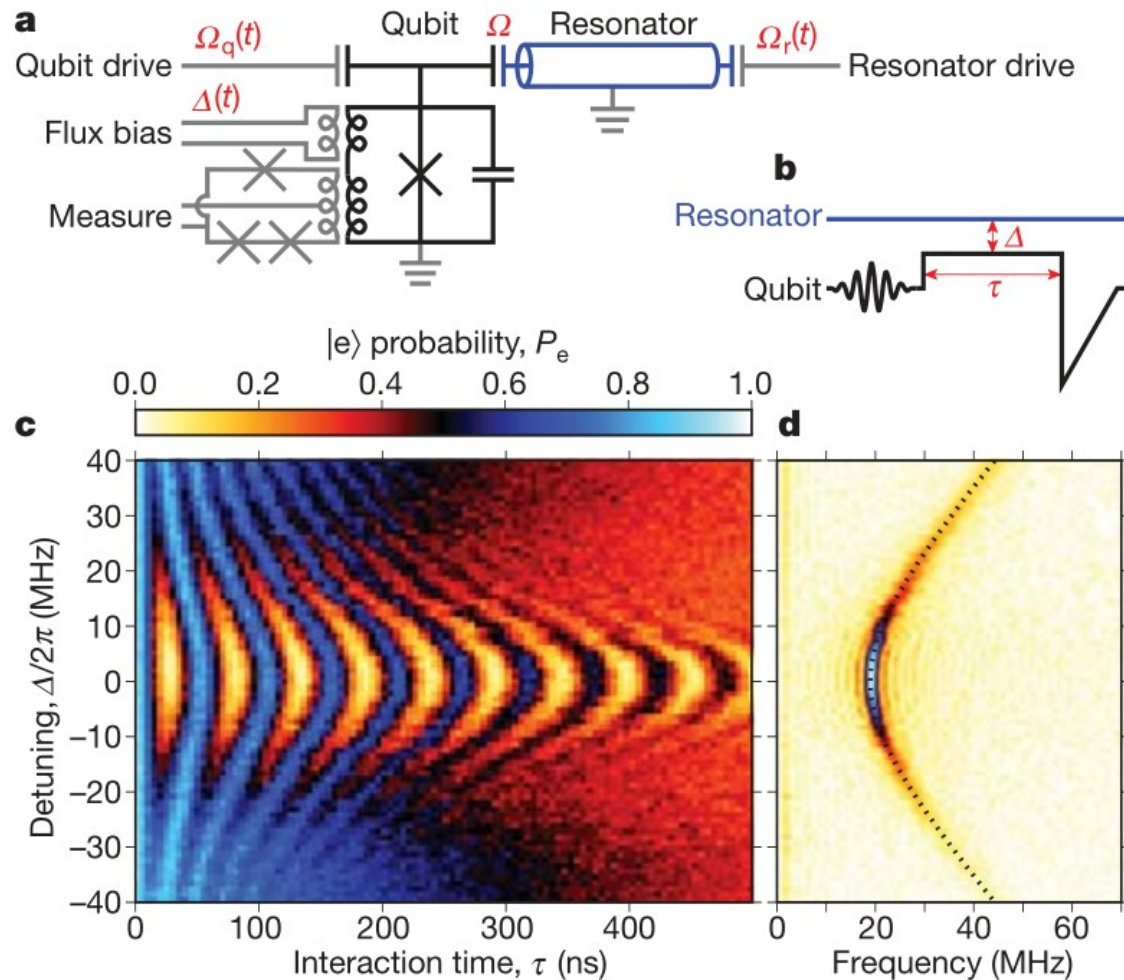


Phase shifter





Exemple d'oscillations de Rabi

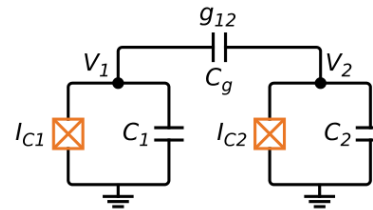


QH3 - Qubits supraconducteurs II

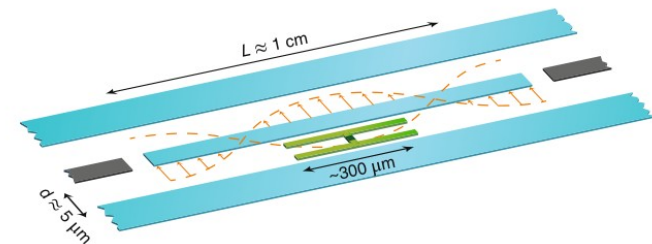
1. Manipuler un qubit : les portes X, Y et Z



2. Couplage de 2 qubits

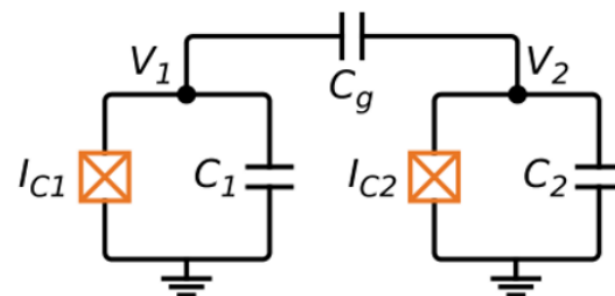


3. Lecture d'un Qubit avec une cav

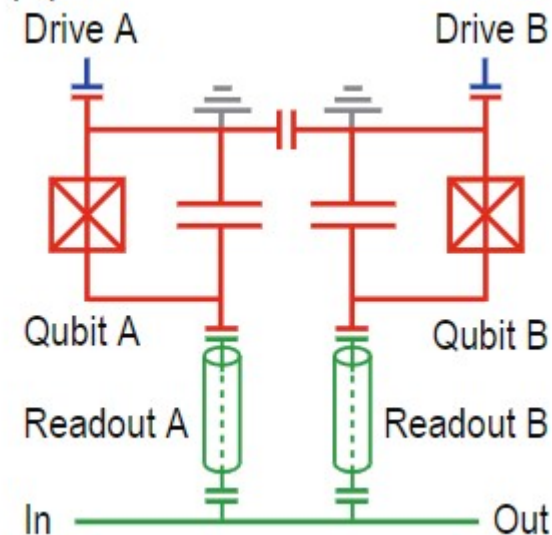
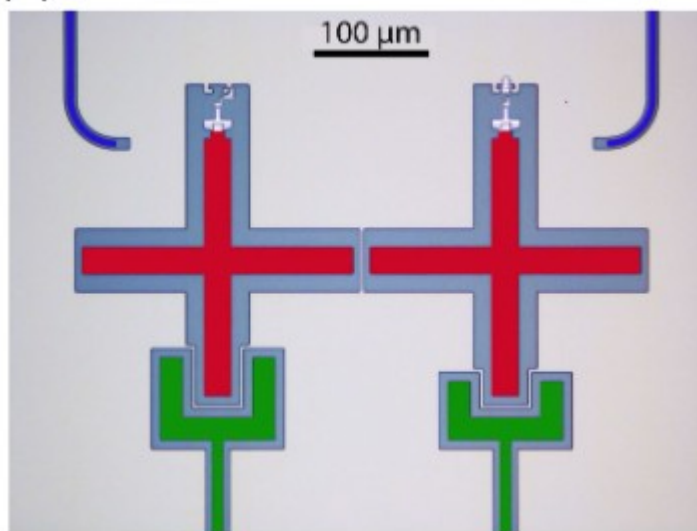


Portes à 2 qubits

Pour générer de l'intrication entre deux qubits supraconducteurs, il est nécessaire de mettre au point une interaction hamiltonienne qui relie les degrés de liberté de ces systèmes individuels. Pour 2 qubits faiblement couplés, on écrira l'Hamiltonien sous la forme $\hat{H} = \hat{H}_1 + \hat{H}_2 + \hat{H}_{int}$, où \hat{H}_1 et \hat{H}_2 sont les Hamiltoniens de 2 transmons et \hat{H}_{int} leur Hamiltonien d'interaction.

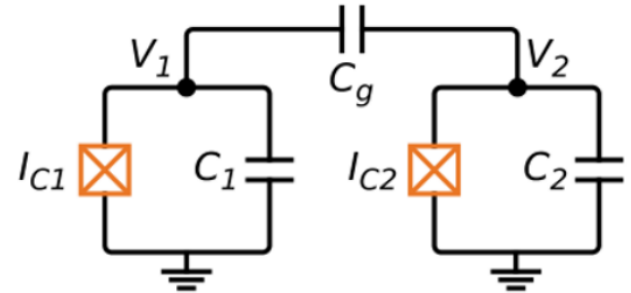


2.1. Ecrire l'énergie totale du circuit en fonction de $V_{i=1,2}$ et $\Phi_{i=1,2}$.



Portes à 2 qubits

Pour générer de l'intrication entre deux qubits supraconducteurs, il est nécessaire de mettre au point une interaction hamiltonienne qui relie les degrés de liberté de ces systèmes individuels. Pour 2 qubits faiblement couplés, on écrira l'Hamiltonien sous la forme $\hat{H} = \hat{H}_1 + \hat{H}_2 + \hat{H}_{int}$, où \hat{H}_1 et \hat{H}_2 sont les Hamiltoniens de 2 transmons et \hat{H}_{int} leur Hamiltonien d'interaction.



2.1. Ecrire l'énergie totale du circuit en fonction de Φ_1, Φ_2 et V_1, V_2

$$E_{totale} = \frac{Q_1^2}{2C_1} - E_{J1} \cos \frac{\Phi_1}{\Phi_0} + \frac{Q_2^2}{2C_2} - E_{J2} \cos \frac{\Phi_2}{\Phi_0} + \frac{C_g}{2} (V_1 - V_2)^2$$

2.2. Proposer un Hamiltonien décrivant le circuit. En déduire \hat{H}_{int} en fonction de la capacité de couplage C_g et les opérateurs charge \hat{Q}_1 et \hat{Q}_2 . Quel est le terme pertinent dans ce couplage ?

$$E_{totale} = \frac{Q_1^2}{2C_1} - E_{J1} \cos \frac{\Phi_1}{\Phi_0} + \frac{Q_2^2}{2C_2} - E_{J2} \cos \frac{\Phi_2}{\Phi_0} + \frac{C_g}{2} (V_1 - V_2)^2$$

2.2. Proposer un Hamiltonien décrivant le circuit. En déduire \hat{H}_{int} en fonction de la capacité de couplage C_g et les opérateurs charge \hat{Q}_1 et \hat{Q}_2 . Quel est le terme pertinent dans ce couplage ?

On a les relations suivantes entre tensions et charges

$$Q_1 = C_1 V_1 \quad Q_2 = C_2 V_2$$

On peut donc écrire l'Hamiltonien

$$\hat{H} = \frac{\hat{Q}_1^2}{2C_1} - E_{J1} \cos \frac{\hat{\Phi}_1}{\Phi_0} + \frac{\hat{Q}_2^2}{2C_2} - E_{J2} \cos \frac{\hat{\Phi}_2}{\Phi_0} + \hat{H}_{int} \quad \text{avec}$$

En développant, on voit que l'on a

$$\hat{H}_{int} = \frac{C_g}{2C_1^2} \hat{Q}_1^2 + \frac{C_g}{2C_2^2} \hat{Q}_2^2 - \frac{C_g}{C_1 C_2} \hat{Q}_1 \hat{Q}_2$$

Le terme pertinent est bien entendu le troisième. Les deux autres peuvent être ignorés d'autant plus que pour être faiblement couplés, on a .

Portes à 2 qubits

2.3. Dans la limite $C_g \ll C_1, C_2$, on pourra supposer que l'on préserve les relations de commutations de deux transmons indépendants $[\hat{\Phi}_1, \hat{Q}_1] = [\hat{\Phi}_2, \hat{Q}_2] = i\hbar$. Réécrire \hat{H}_{int} avec les opérateurs d'échelle

$$\hat{a}_1 = \frac{\hat{\Phi}_1}{\sqrt{2\hbar\omega_1 L_1}} + i \frac{\hat{Q}_1}{\sqrt{2\hbar\omega_1 C_1}} \quad \text{et} \quad \hat{a}_2 = \frac{\hat{\Phi}_2}{\sqrt{2\hbar\omega_2 L_2}} + i \frac{\hat{Q}_2}{\sqrt{2\hbar\omega_2 C_2}}.$$

agissant sur les espaces de Hilbert respectifs des 2 transmons $\{|n\rangle_{i=1,2}\}$ où n est entier. On introduit ici ω_1 et ω_2 les fréquences des 2 qubits.

On ne garde que le dernier terme

$$\hat{H}_{int} = -\frac{C_g}{C_1 C_2} \hat{Q}_1 \hat{Q}_2$$

Portes à 2 qubits

2.3. Dans la limite $C_g \ll C_1, C_2$, on pourra supposer que l'on préserve les relations de commutations de deux transmons indépendants $[\hat{\Phi}_1, \hat{Q}_1] = [\hat{\Phi}_2, \hat{Q}_2] = i\hbar$. Réécrire \hat{H}_{int} avec les opérateurs d'échelle

$$\hat{a}_1 = \frac{\hat{\Phi}_1}{\sqrt{2\hbar\omega_1 L_1}} + i \frac{\hat{Q}_1}{\sqrt{2\hbar\omega_1 C_1}} \quad \text{et} \quad \hat{a}_2 = \frac{\hat{\Phi}_2}{\sqrt{2\hbar\omega_2 L_2}} + i \frac{\hat{Q}_2}{\sqrt{2\hbar\omega_2 C_2}}.$$

agissant sur les espaces de Hilbert respectifs des 2 transmons $\{|n\rangle_{i=1,2}\}$ où n est entier. On introduit ici ω_1 et ω_2 les fréquences des 2 qubits.

On ne garde que le dernier terme

$$\hat{H}_{int} = -\frac{C_g}{C_1 C_2} \hat{Q}_1 \hat{Q}_2$$

Dans ce cas

$$\hat{H}_{int} = -\hbar g (\hat{a}_1 - \hat{a}_1^\dagger)(\hat{a}_2 - \hat{a}_2^\dagger) \quad \text{avec}$$

Rem: En passant par la mécanique Lagrangienne, nous verrions que nous faisons en fait une faute de signe (sans incidence) dans notre approche.

Portes à 2 qubits

2.4. On suppose que la non-linéarité des transmons permet d'ignorer les états $|n \geq 2\rangle_{i=1,2}$. Exprimer alors \hat{H}_{int} puis \hat{H} dans la base $\{|0\rangle_1, |1\rangle_1\} \otimes \{|0\rangle_2, |1\rangle_2\}$ avec les matrices de Pauli

$$\hat{\sigma}_{x,i} = \begin{pmatrix} 0 & 1 \\ 1 & 0 \end{pmatrix}, \quad \hat{\sigma}_{y,i} = \begin{pmatrix} 0 & -i \\ i & 0 \end{pmatrix}, \quad \hat{\sigma}_{z,i} = \begin{pmatrix} 1 & 0 \\ 0 & -1 \end{pmatrix}.$$

où $i = 1, 2$. Pourquoi parle-t-on de couplage transverse dans ce cas ?

$$\hat{H}_{int} = -\hbar g (\hat{a}_1 - \hat{a}_1^\dagger)(\hat{a}_2 - \hat{a}_2^\dagger)$$

$$\hat{H} = \frac{\hat{Q}_1^2}{2C_1} - E_{J1} \cos \frac{\hat{\Phi}_1}{\Phi_0} + \frac{\hat{Q}_2^2}{2C_2} - E_{J2} \cos \frac{\hat{\Phi}_2}{\Phi_0} + \hat{H}_{int}$$

Portes à 2 qubits

2.4. On suppose que la non-linéarité des transmons permet d'ignorer les états $|n \geq 2\rangle_{i=1,2}$. Exprimer alors \hat{H}_{int} puis \hat{H} dans la base $\{|0\rangle_1, |1\rangle_1\} \otimes \{|0\rangle_2, |1\rangle_2\}$ avec les matrices de Pauli

$$\hat{\sigma}_{x,i} = \begin{pmatrix} 0 & 1 \\ 1 & 0 \end{pmatrix}, \quad \hat{\sigma}_{y,i} = \begin{pmatrix} 0 & -i \\ i & 0 \end{pmatrix}, \quad \hat{\sigma}_{z,i} = \begin{pmatrix} 1 & 0 \\ 0 & -1 \end{pmatrix}.$$

où $i = 1, 2$. Pourquoi parle-t-on de couplage transverse dans ce cas ?

Comme dans l'exercice précédent, lorsqu'on réduit l'espace de Hilbert à 2 états, on peut faire la transformation

$$\frac{(\hat{a}_i - \hat{a}_i^\dagger)}{i} \rightarrow \hat{\sigma}_{y,i} = \begin{pmatrix} 0 & -i \\ i & 0 \end{pmatrix}$$

ce qui donne

$$\hat{H}_{int} = \hbar g \hat{\sigma}_{y,1} \hat{\sigma}_{y,2}$$

En se restreignant à , on a donc

$$\hat{H} = \hbar \left(-\frac{\omega_1}{2} \hat{\sigma}_{z,1} - \frac{\omega_2}{2} \hat{\sigma}_{z,2} + g \hat{\sigma}_{y,1} \hat{\sigma}_{y,2} \right)$$

Un tel couplage est dit "transverse", car l'hamiltonien de couplage ne possède des éléments de matrice non nuls qu'à des positions hors diagonale.

Portes à 2 qubits

2.5. Diagonaliser \hat{H} . On pourra remarquer que les sous-espaces $\{|00\rangle |11\rangle\}$ et $\{|01\rangle |10\rangle\}$ sont stables par \hat{H} . On introduira ω_1 et ω_2 les fréquences des 2 qubits.

$$\hat{H} = \hbar \left(-\frac{\omega_1}{2} \hat{\sigma}_{z,1} - \frac{\omega_2}{2} \hat{\sigma}_{z,2} + g \hat{\sigma}_{y,1} \hat{\sigma}_{y,2} \right)$$

2.5. Diagonaliser \hat{H} . On pourra remarquer que les sous-espaces $\{|00\rangle |11\rangle\}$ et $\{|01\rangle |10\rangle\}$ sont stables par \hat{H} . On introduira ω_1 et ω_2 les fréquences des 2 qubits.

Dans la base, l'Hamiltonien s'écrit

$$\hat{H} = \hbar \left(-\frac{\omega_1}{2} \hat{\sigma}_{z,1} - \frac{\omega_2}{2} \hat{\sigma}_{z,2} + g \hat{\sigma}_{y,1} \hat{\sigma}_{y,2} \right)$$
$$= \hbar \frac{\omega_1 + \omega_2}{2} + \hbar \begin{pmatrix} 0 & -g & 0 & 0 \\ -g & (\omega_1 + \omega_2) & 0 & 0 \\ 0 & 0 & \omega_1 & g \\ 0 & 0 & g & \omega_2 \end{pmatrix}$$

L'Hamiltonien est diagonal par bloc, on peut donc le diagonaliser indépendamment sur puis .

Portes à 2 qubits

2.5. Diagonaliser \hat{H} . On pourra remarquer que les sous-espaces $\{|00\rangle |11\rangle\}$ et $\{|01\rangle |10\rangle\}$ sont stables par \hat{H} . On introduira ω_1 et ω_2 les fréquences des 2 qubits.

Sur , on a
$$\hat{H} = \frac{\hbar}{2} \begin{pmatrix} -(\omega_1 + \omega_2) & -2g \\ -2g & \omega_1 + \omega_2 \end{pmatrix} = -\frac{\hbar}{2} \Omega_e \begin{pmatrix} \cos \alpha & \sin \alpha \\ \sin \alpha & -\cos \alpha \end{pmatrix}$$

avec
$$\begin{cases} \cos \alpha = \frac{\omega_1 + \omega_2}{\Omega_e} \\ \sin \alpha = \frac{2g}{\Omega_e} \end{cases} \quad \text{et} \quad \Omega_e = \sqrt{(\omega_1 + \omega_2)^2 + 4g^2}$$

Les énergies propres sont donc
$$\omega_{-e} = -\frac{\hbar}{2} \Omega_e \quad \text{et} \quad \omega_{+e} = \frac{\hbar}{2} \Omega_e$$

associés aux états propres

$$|- \rangle_e = \begin{pmatrix} \cos \frac{\alpha}{2} \\ \sin \frac{\alpha}{2} \end{pmatrix}$$



Rem : « e » ici signifie « even », c'est-à-dire pair car il y a 2 excitations ou 0.

Portes à 2 qubits

2.5. Diagonaliser \hat{H} . On pourra remarquer que les sous-espaces $\{|00\rangle | 11\rangle\}$ et $\{|01\rangle | 10\rangle\}$ sont stables par \hat{H} . On introduira ω_1 et ω_2 les fréquences des 2 qubits.

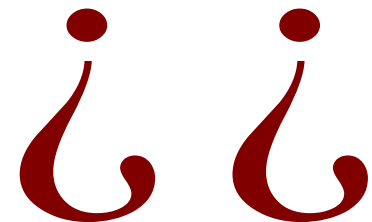
Sur , on a
$$\hat{H} = \frac{\hbar}{2} \begin{pmatrix} -(\omega_1 - \omega_2) & 2g \\ 2g & (\omega_1 - \omega_2) \end{pmatrix} = -\frac{\hbar}{2} \Omega_o \begin{pmatrix} \cos \beta & -\sin \beta \\ -\sin \beta & -\cos \beta \end{pmatrix}$$

avec
$$\begin{cases} \cos \beta = \frac{\omega_1 - \omega_2}{\Omega_o} \\ \sin \beta = \frac{2g}{\Omega_o} \end{cases} \quad \text{et} \quad \Omega_o = \sqrt{(\omega_1 - \omega_2)^2 + 4g^2}$$

Les énergies propres sont donc $\omega_{-o} = -\frac{\hbar}{2} \Omega_o$ et $\omega_{+o} = \frac{\hbar}{2} \Omega_o$

associés aux états propres

$$|- \rangle_o = \begin{pmatrix} \cos \frac{\beta}{2} \\ -\sin \frac{\beta}{2} \end{pmatrix}$$



Rem : « o » ici signifie « odd », c'est-à-dire impair car il y a 1 excitation.

Portes à 2 qubits

2.6. Montrer que l'on peut alors écrire un Hamiltonien d'interaction sous la forme

$$\hat{H}_{int} = \hbar g \hat{\sigma}_x \otimes \hat{\sigma}_x$$

dans le cas de deux qubits identiques et d'un couplage faible c'est à dire quand $g \ll \omega_{1,2}$.

On vient d'identifier les pulsations propres et états propres suivants

« even »

« odd »

$$\omega_{-e} = -\frac{\hbar}{2} \Omega_e \quad \omega_{+e} = \frac{\hbar}{2} \Omega_e$$

$$\omega_{-o} = -\frac{\hbar}{2} \Omega_o \quad \omega_{+o} = \frac{\hbar}{2} \Omega_o$$

$$|-\rangle_e = \begin{pmatrix} \cos \frac{\alpha}{2} \\ \sin \frac{\alpha}{2} \end{pmatrix} \otimes \begin{pmatrix} \cos \frac{\alpha}{2} \\ \sin \frac{\alpha}{2} \end{pmatrix}$$

$$|-\rangle_o = \begin{pmatrix} \cos \frac{\beta}{2} \\ -\sin \frac{\beta}{2} \end{pmatrix} \otimes \begin{pmatrix} \cos \frac{\beta}{2} \\ -\sin \frac{\beta}{2} \end{pmatrix}$$

avec

$$\begin{cases} \cos(\alpha \text{ ou } \beta) = \frac{\omega_1 \pm \omega_2}{\Omega_{e,o}} \\ \sin(\alpha \text{ ou } \beta) = \frac{2g}{\Omega_{e,o}} \end{cases}$$

$$\Omega_{e,o} = \sqrt{(\omega_1 \pm \omega_2)^2 + 4g^2}$$

Portes à 2 qubits

2.6. Montrer que l'on peut alors écrire un Hamiltonien d'interaction sous la forme

$$\hat{H}_{int} = \hbar g \hat{\sigma}_x \otimes \hat{\sigma}_x$$

dans le cas de deux qubits identiques et d'un couplage faible c'est à dire quand $g \ll \omega_{1,2}$.

pour et , ils deviennent

« even »

$$\omega_{\pm e} \approx \pm \frac{\hbar}{2} (\omega_1 + \omega_2)$$

$$| \pm \rangle_e \approx \begin{pmatrix} 1 \\ 0 \end{pmatrix} \quad \hat{\sigma}_x \quad \hat{\sigma}_x$$

car

« odd »

$$\omega_{-o} = -\hbar g$$

$$\omega_{+o} = \hbar g$$

$$| \pm \rangle_o = \frac{1}{\sqrt{2}} \begin{pmatrix} 1 \\ -1 \end{pmatrix} \quad \hat{\sigma}_x \quad \hat{\sigma}_x$$

car

Dans cette limite, l'Hamiltonien d'interaction ne couple donc que les états du sous-espace . On remarque par ailleurs que les vecteurs propres résultants de ce couplage sont ceux de l'opérateur . On peut donc bien écrire comme indiqué dans l'énoncé.

Portes à 2 qubits

$$\hat{H}_{int} = g(|01\rangle\langle 10| + |10\rangle\langle 01|)$$

2.7. Ecrire l'opérateur d'évolution associé, puis proposer un protocole pour réaliser les portes $iSWAP$ et \sqrt{iSWAP} .

Un porte correspond à l'inversion de l'état de 2 qubits accompagnée d'une multiplication de la fonction d'onde par un facteur .

Dans la base , cela correspond à

$$iSWAP \equiv \begin{bmatrix} 1 & 0 & 0 & 0 \\ 0 & 1 & 0 & 0 \\ 0 & 0 & 0 & i \\ 0 & 0 & i & 0 \end{bmatrix}$$

Un porte sert à générer une superposition d'état de type Bell, par exemple .

$$\sqrt{iSWAP} \equiv \begin{bmatrix} 1 & 0 & 0 & 0 \\ 0 & 1 & 0 & 0 \\ 0 & 0 & 1/\sqrt{2} & -i/\sqrt{2} \\ 0 & 0 & -i/\sqrt{2} & 1/\sqrt{2} \end{bmatrix}$$

On parle de la racine carré de car deux portes consécutives donne .

2.7. Ecrire l'opérateur d'évolution associé, puis proposer un protocole pour réaliser les portes $iSWAP$ et \sqrt{iSWAP} .

Un état évolue selon

$$|\psi(t)\rangle = \hat{U}(t) \psi$$

où est l'opérateur d'évolution pour un temps .

Dans les conditions définies dans la question 2.6, et dans la base , il s'écrit

$$\hat{U}(t) = e^{-igt(|01\rangle\langle 10| + |10\rangle\langle 01|)}$$

2.7. Ecrire l'opérateur d'évolution associé, puis proposer un protocole pour réaliser les portes $iSWAP$ et \sqrt{iSWAP} .

Un état évolue selon

$$|\psi(t)\rangle = \hat{U}(t) \psi$$

où est l'opérateur d'évolution pour un temps .

Dans les conditions définies dans la question 2.6, et dans la base , il s'écrit

$$\hat{U}(t) = e^{-igt(|01\rangle\langle 10| + |10\rangle\langle 01|)} = e^{-igt\hat{\sigma}_x} = \cos(gt\hat{\sigma}_x) - i\sin(gt\hat{\sigma}_x)$$

En développant le cosinus et le sinus en série de Taylor, on montre aisément

$$\hat{U}(t) = \cos(gt) - i\sin(gt)\hat{\sigma}_x = \begin{bmatrix} \cos(gt) & -i\sin(gt) \\ -i\sin(gt) & \cos(gt) \end{bmatrix}$$

car

Portes à 2 qubits

2.7. Ecrire l'opérateur d'évolution associé, puis proposer un protocole pour réaliser les portes $iSWAP$ et \sqrt{iSWAP} .

Un état évolue selon

$$|\psi(t)\rangle = \hat{U}(t) \psi$$

où est l'opérateur d'évolution pour un temps .

Dans les conditions définies dans la question 2.6, et dans la base , il s'écrit

$$\hat{U}(t) = e^{-igt(|01\rangle\langle 10| + |10\rangle\langle 01|)} = e^{-igt\hat{\sigma}_x} = \cos(gt\hat{\sigma}_x) - i\sin(gt\hat{\sigma}_x)$$

En développant le cosinus et le sinus en série de Taylor, on montre aisément

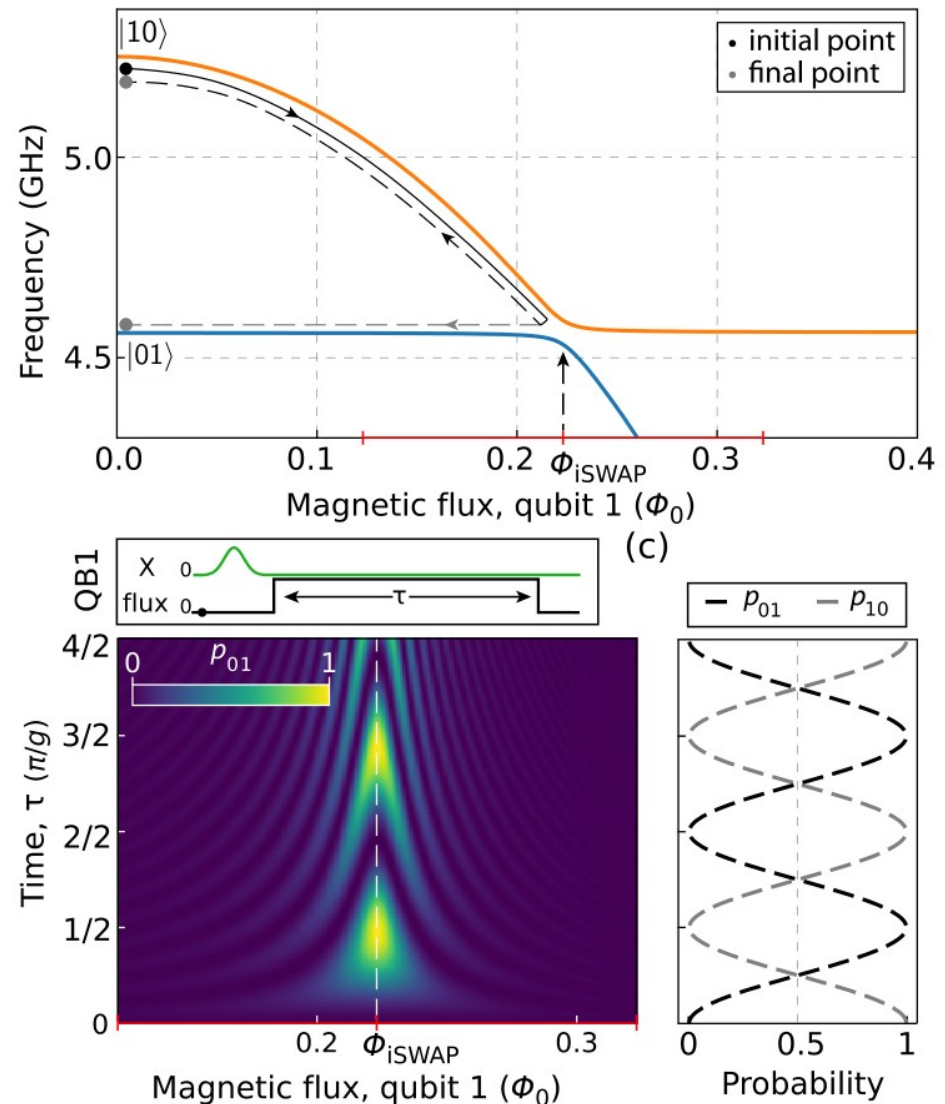
$$\hat{U}(t) = \cos(gt) - i\sin(gt)\hat{\sigma}_x = \begin{bmatrix} \cos(gt) & -i\sin(gt) \\ -i\sin(gt) & \cos(gt) \end{bmatrix}$$

car

On voit que cette matrice devient pour et pour .

Portes à 2 qubits

Pour effectuer ces portes, il suffit que l'un des qubits soit ajustable en fréquence (en utilisant un SQUID). Ainsi, quand les qubits ne peuvent pas échanger d'énergie. Il est donc possible de contrôler le temps d'interaction entre les 2 qubits en les mettant à la même fréquence le temps désiré. Par exemple, pour un .

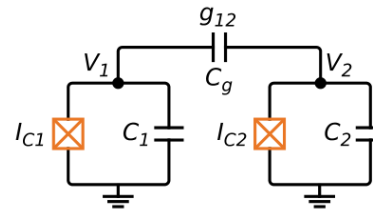


QH3 - Qubits supraconducteurs II

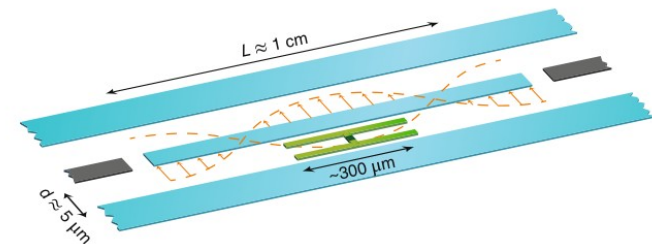
1. Manipuler un qubit : les portes X, Y et Z



2. Couplage de 2 qubits

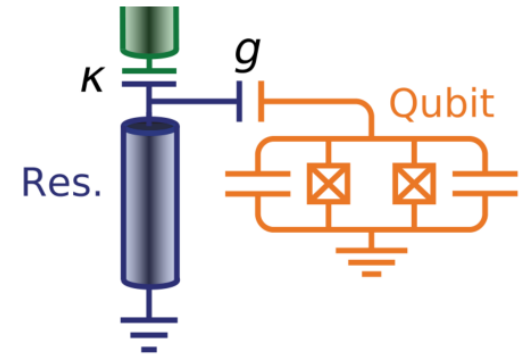


3. Lecture d'un Qubit avec une cav



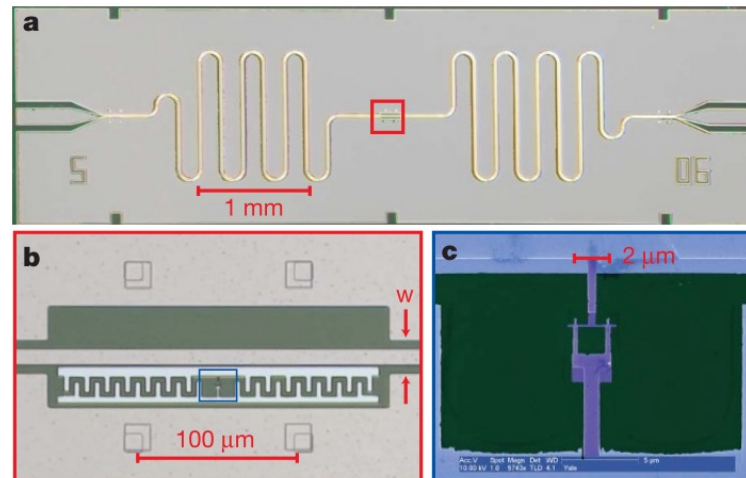
Lecture QND d'un qubit en cavité

La lecture rapide et fiable des qubits est une pierre angulaire importante de tout processeur quantique. La technique de lecture la plus couramment utilisée repose sur une architecture cQED dans laquelle chaque qubit est couplé à un résonateur de lecture. Dans le régime dispersif, c'est-à-dire lorsque le qubit est désaccordé par rapport à la fréquence du résonateur, le qubit induit un décalage de fréquence du résonateur en fonction son état qui peut donc être déduit en interrogeant le résonateur.

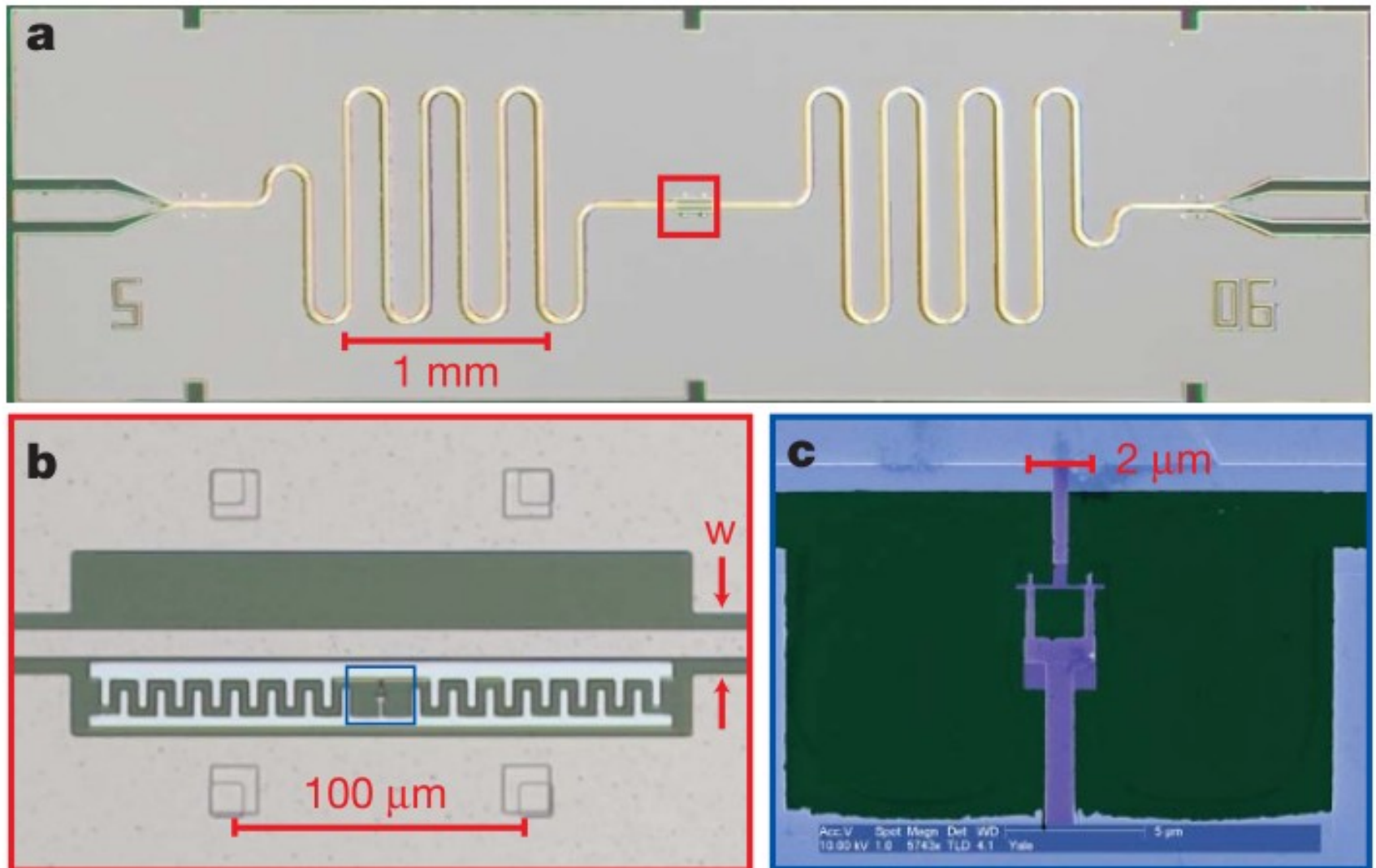


3.1. En s'inspirant de l'exercice précédent, justifier la forme de l'Hamiltonien suivant

$$\hat{H} = \hbar\omega_r(\hat{a}^\dagger\hat{a} + \frac{1}{2}) - \frac{\hbar\omega_q}{2}\sigma_z + \hbar g(\hat{a}^\dagger|0\rangle\langle 1| + \hat{a}|1\rangle\langle 0|)$$

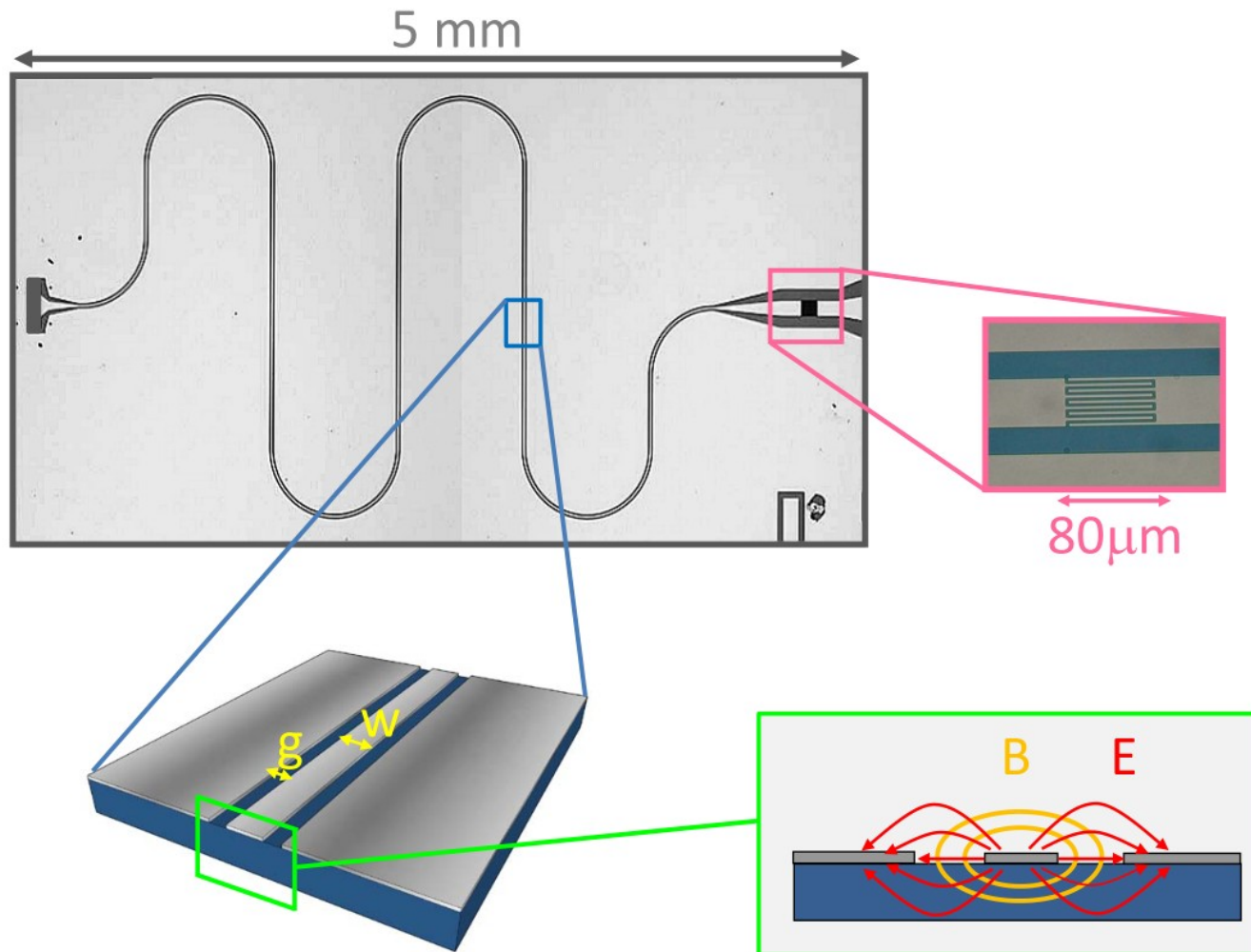


Lecture QND d'un qubit en cavité

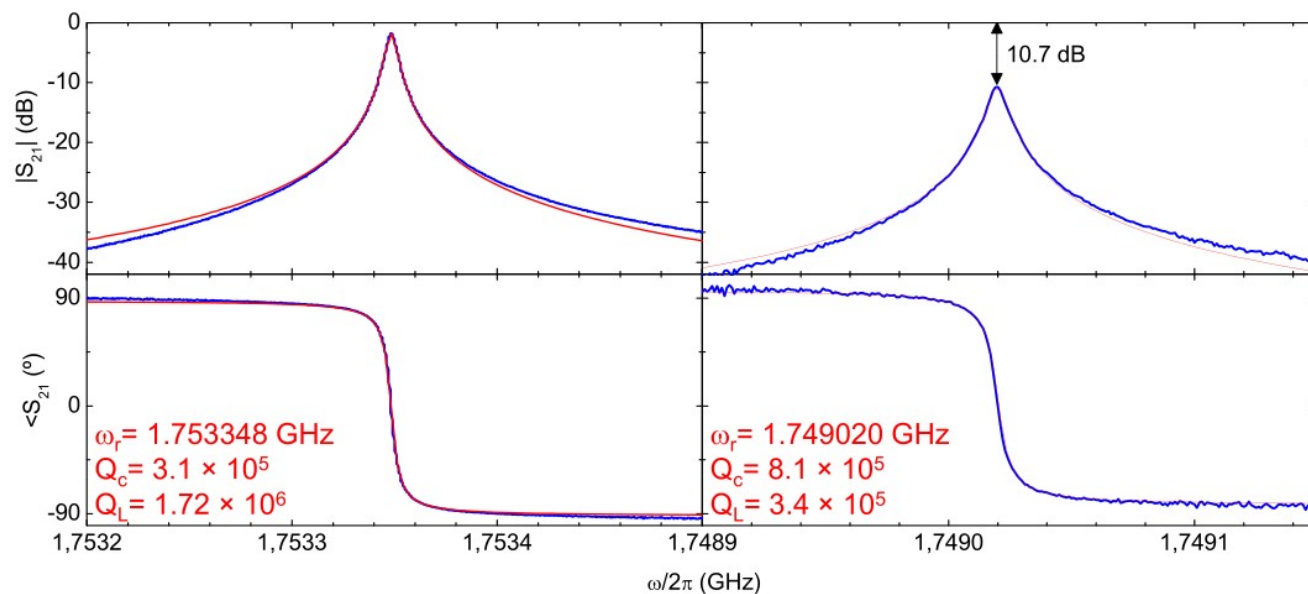
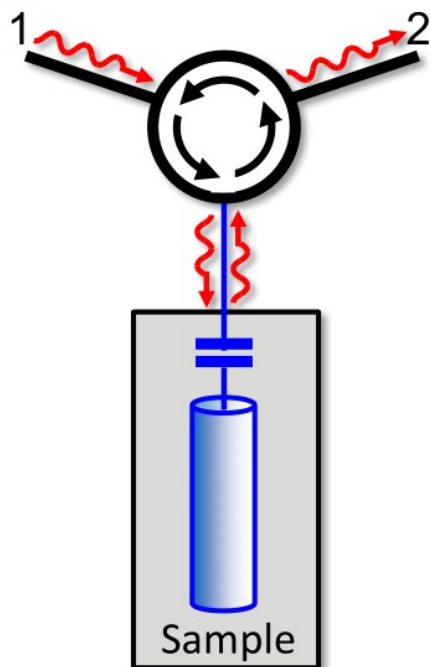


La cavité (ou résonateur)

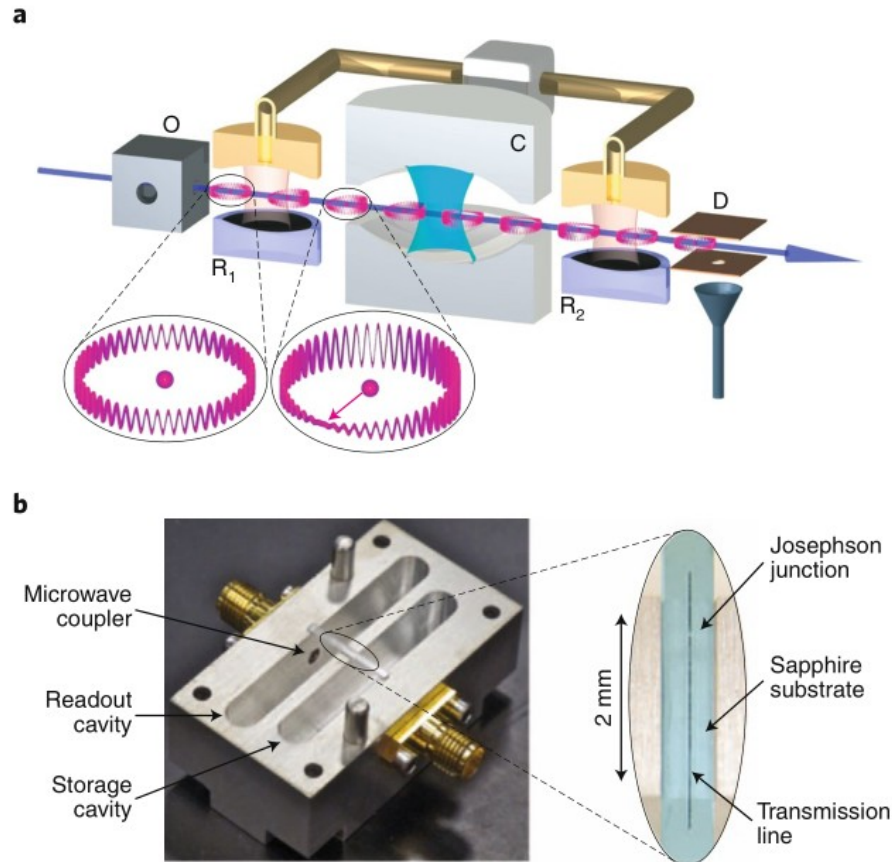
Implémentation



Mesure de la cavité en réflexion

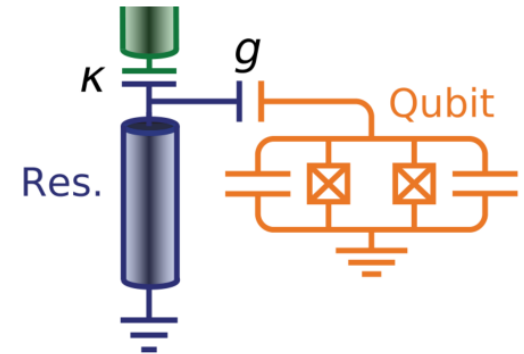


Cavité 3D inspirée de la physique atomique



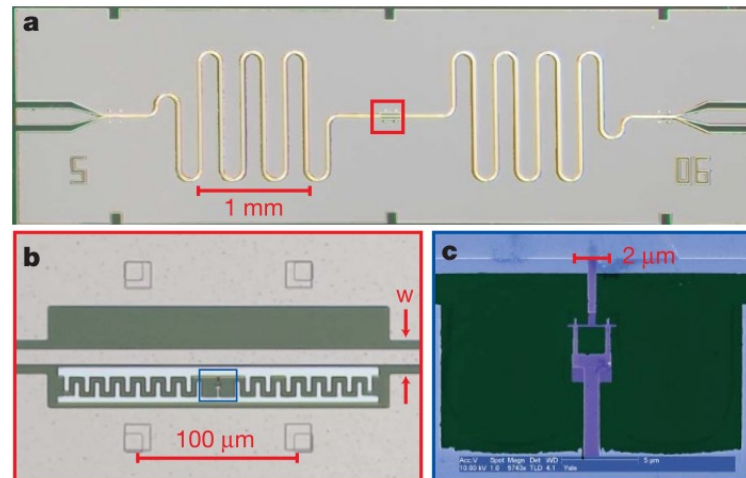
Lecture QND d'un qubit en cavité

La lecture rapide et fiable des qubits est une pierre angulaire importante de tout processeur quantique. La technique de lecture la plus couramment utilisée repose sur une architecture cQED dans laquelle chaque qubit est couplé à un résonateur de lecture. Dans le régime dispersif, c'est-à-dire lorsque le qubit est désaccordé par rapport à la fréquence du résonateur, le qubit induit un décalage de fréquence du résonateur en fonction son état qui peut donc être déduit en interrogeant le résonateur.



3.1. En s'inspirant de l'exercice précédent, justifier la forme de l'Hamiltonien suivant

$$\hat{H} = \hbar\omega_r(\hat{a}^\dagger\hat{a} + \frac{1}{2}) - \frac{\hbar\omega_q}{2}\sigma_z + \hbar g(\hat{a}^\dagger|0\rangle\langle 1| + \hat{a}|1\rangle\langle 0|)$$



3.1. En s'inspirant de l'exercice précédent, justifier la forme de l'Hamiltonien suivant

$$\hat{H} = \hbar\omega_r(\hat{a}^\dagger\hat{a} + \frac{1}{2}) - \frac{\hbar\omega_q}{2}\sigma_z + \hbar g(\hat{a}^\dagger|0\rangle\langle 1| + \hat{a}|1\rangle\langle 0|)$$

Dans l'exercice précédent, on a vu que l'Hamiltonien de 2 transmons couplés capacitivement était donné par

$$\hat{H} = \hbar \left(-\frac{\omega_1}{2} \hat{\sigma}_{z,1} - \frac{\omega_2}{2} \hat{\sigma}_{z,2} + g(|01\rangle\langle 10| + |10\rangle\langle 01|) \right)$$

ce qui provenait de la restriction au sous-espace .

3.1. En s'inspirant de l'exercice précédent, justifier la forme de l'Hamiltonien suivant

$$\hat{H} = \hbar\omega_r(\hat{a}^\dagger\hat{a} + \frac{1}{2}) - \frac{\hbar\omega_q}{2}\sigma_z + \hbar g(\hat{a}^\dagger|0\rangle\langle 1| + \hat{a}|1\rangle\langle 0|)$$

Dans l'exercice précédent, on a vu que l'Hamiltonien de 2 transmons couplés capacitivement était donné par

$$\hat{H} = \hbar \left(-\frac{\omega_1}{2} \hat{\sigma}_{z,1} - \frac{\omega_2}{2} \hat{\sigma}_{z,2} + g(|01\rangle\langle 10| + |10\rangle\langle 01|) \right)$$

ce qui provenait de la restriction au sous-espace .

Si l'on remplace un des transmons par un résonateur se comportant comme un oscillateur harmonique alors il n'est pas pertinent d'effectuer cette restriction, ce qui donne

$$\hat{H} = \hbar\omega_r\left(\hat{a}^\dagger\hat{a} + \frac{1}{2}\right) - \frac{\hbar\omega_q}{2}\hat{\sigma}_z + \hbar g(\hat{a}|1\rangle\langle 0| + \hat{a}^\dagger|0\rangle\langle 1|)$$

où le dernier terme correspond à un échange de photon entre le résonateur et le qubit plutôt qu'entre 2 qubits.

3.2. Sans calcul, justifier pourquoi le résonateur ne permettrait pas d'effectuer de lecture QND si on avait $\omega_r \approx \omega_q$.

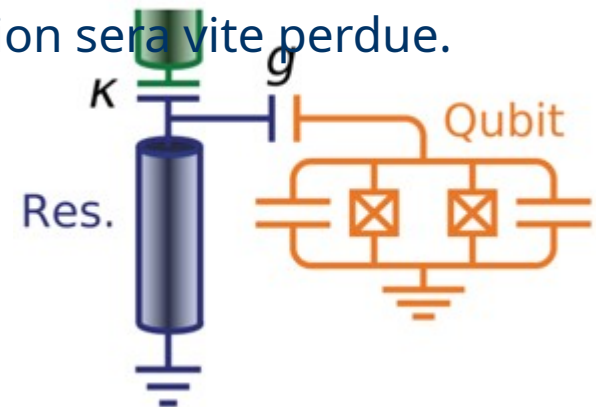


3.2. Sans calcul, justifier pourquoi le résonateur ne permettrait pas d'effectuer de lecture QND si on avait $\omega_r \approx \omega_q$.

Une mesure QND signifie que l'on **préserve l'état du qubit une fois qu'il est mesuré**. Ainsi, s'il a été mesuré dans l'état $|0\rangle$ ou $|1\rangle$, le qubit doit ensuite rester dans cet état. Cela est utile pour effectuer des opérations de projections du qubit.

Si on utilise le résonateur pour effectuer cette mesure, il est donc très important que la fréquence du résonateur soit très différente de celle du qubit. En effet, dans le cas **le qubit peut relaxer de l'état vers l'état** en transférant son excitation dans le résonateur. Comme ce dernier est connecté vers le monde extérieur, cette excitation sera vite perdue.

La mesure ne sera alors pas QND.



3.3. En remarquant que le sous-espace $\{|0, n+1\rangle, |1, n\rangle\}$ est stable par \hat{H} , montrer que diagonaliser l'Hamiltonien revient à diagonaliser une matrice 2×2 . Donner ses valeurs propres.

$$\hat{H} = \hbar \omega_r \left(\hat{a}^\dagger \hat{a} + \frac{1}{2} \right) - \frac{\hbar \omega_q}{2} \hat{\sigma}_z + \hbar g (\hat{a} |1\rangle\langle 0| + \hat{a}^\dagger |0\rangle\langle 1|)$$

3.3. En remarquant que le sous-espace $\{|0, n+1\rangle, |1, n\rangle\}$ est stable par \hat{H} , montrer que diagonaliser l'Hamiltonien revient à diagonaliser une matrice 2×2 . Donner ses valeurs propres.

Il est clair que l'Hamiltonien

$$\hat{H} = \hbar \omega_r \left(\hat{a}^\dagger \hat{a} + \frac{1}{2} \right) - \frac{\hbar \omega_q}{2} \hat{\sigma}_z + \hbar g (\hat{a} |1\rangle\langle 0| + \hat{a}^\dagger |0\rangle\langle 1|)$$

conserve le nombre d'excitation totale. On a ainsi

$$\hat{H} |0, n+1\rangle = \left[\hbar \omega_r \left(n + \frac{3}{2} \right) - \frac{\hbar \omega_q}{2} \right] |0, n+1\rangle + \hbar g \sqrt{n+1} |1, n\rangle$$

$$\hat{H} |1, n\rangle = \left[\hbar \omega_r \left(n + \frac{1}{2} \right) + \frac{\hbar \omega_q}{2} \right] |1, n\rangle + \hbar g \sqrt{n+1} |0, n+1\rangle$$

On peut donc diagonaliser séparément sur les sous-espace

3.3. En remarquant que le sous-espace $\{|0, n+1\rangle, |1, n\rangle\}$ est stable par \hat{H} , montrer que diagonaliser l'Hamiltonien revient à diagonaliser une matrice 2×2 . Donner ses valeurs propres.

Cela revient à diagonaliser la matrice (on a ôté la constante)

$$\mathcal{H}_{n+1} = \hbar \begin{pmatrix} (n+1)\omega_r - \frac{\omega_q}{2} & g\sqrt{n+1} \\ g\sqrt{n+1} & n\omega_r + \frac{\omega_q}{2} \end{pmatrix}$$

dont les valeurs propres sont

$$E_{\pm}^{(n)} = \left(n + \frac{1}{2}\right) \hbar \omega_r \pm \frac{\hbar}{2} \sqrt{(\omega_r - \omega_q)^2 + 4g^2(n+1)}$$

3.4. On se place dans la limite dispersive, c'est à dire que l'on a $\Delta = |\omega_q - \omega_r| \gg g$. Montrer que la fréquence de la cavité est donnée par $\omega_r \pm \chi$ selon que le qubit est dans $|0\rangle$ ou $|1\rangle$. Que vaut χ ? Construire un Hamiltonien effectif ayant les bonnes valeurs propres.

Les énergies propres de dans le sous-espace sont

$$E_{\pm}^{(n+1)} = \left(n + \frac{1}{2}\right) \hbar \omega_r \pm \frac{\hbar}{2} \sqrt{\Delta^2 + 4g^2(n+1)}$$

3.4. On se place dans la limite dispersive, c'est à dire que l'on a $\Delta = |\omega_q - \omega_r| \gg g$. Montrer que la fréquence de la cavité est donnée par $\omega_r \pm \chi$ selon que le qubit est dans $|0\rangle$ ou $|1\rangle$. Que vaut χ ? Construire un Hamiltonien effectif ayant les bonnes valeurs propres.

Les énergies propres de dans le sous-espace sont

$$E_{\pm}^{(n+1)} = \left(n + \frac{1}{2}\right) \hbar \omega_r \pm \frac{\hbar}{2} \sqrt{\Delta^2 + 4g^2(n+1)}$$

Dans la limite dispersive , cela devient (prenons)

$$E_{\pm}^{(n+1)} = \left(n + \frac{1}{2}\right) \hbar \omega_r \pm \frac{\hbar}{2} \Delta \left(1 + \frac{2g^2}{\Delta^2} (n+1)\right)$$

On remarquera que le couplage entre le qubit et le résonateur induit une petite correction d'énergie. Cependant, on peut vérifier (à la maison) que les états propres associés sont quasiment inchangés

$$|-\rangle_{n+1} \approx |0, n+1\rangle$$

3.4. On se place dans la limite dispersive, c'est à dire que l'on a $\Delta = |\omega_q - \omega_r| \ll g$. Montrer que la fréquence de la cavité est donnée par $\omega_r \pm \chi$ selon que le qubit est dans $|0\rangle$ ou $|1\rangle$. Que vaut χ ? Construire un Hamiltonien effectif ayant les bonnes valeurs propres.

On peut réécrire ces énergies sous la forme

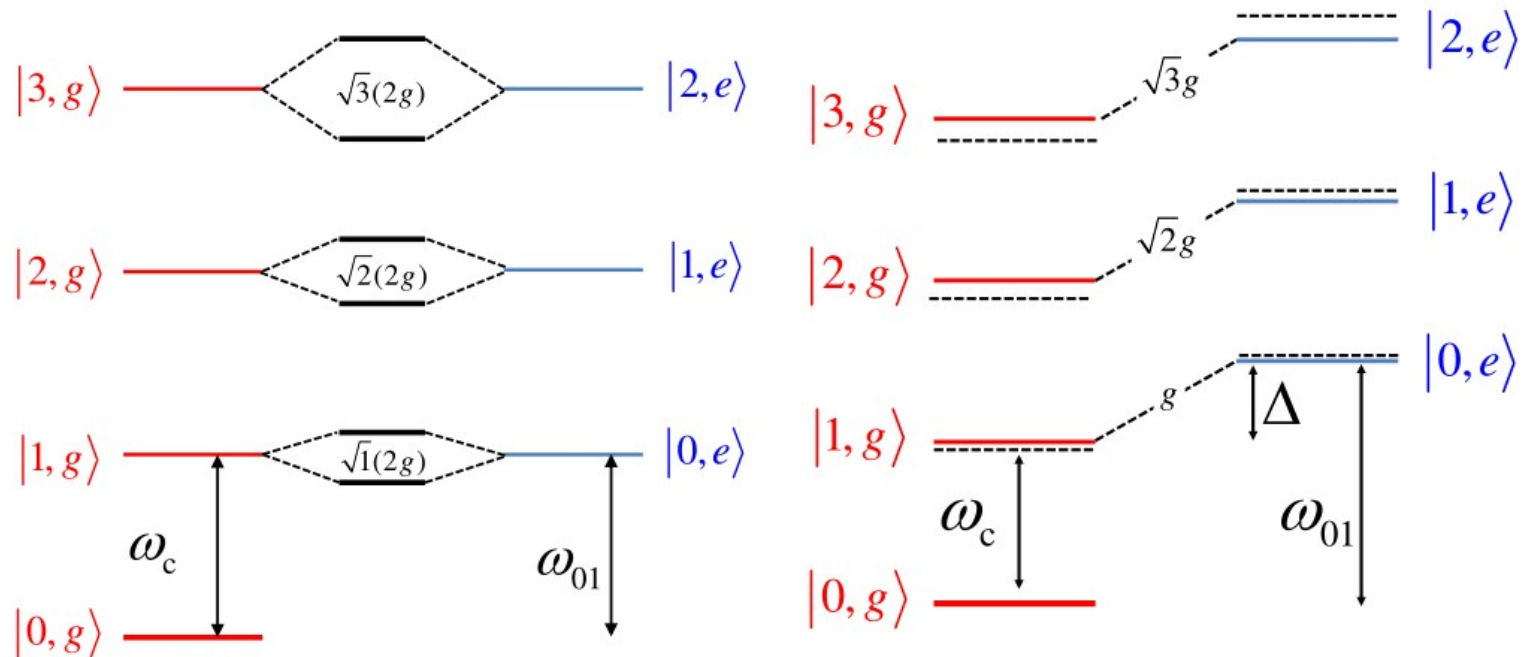
$$|-\rangle_n \approx |0, n\rangle \quad E_-^{(n)} = n \hbar \left(\omega_r - \frac{g^2}{\Delta} \right) - \frac{\hbar}{2} \omega_q$$

$$|+\rangle_n \approx |1, n\rangle \quad E_+^{(n)} = n \hbar \left(\omega_r + \frac{g^2}{\Delta} \right) + \frac{\hbar}{2} \omega_q + \hbar \frac{g^2}{\Delta}$$

On constate que si le qubit est dans l'état $|0\rangle$, alors n photons contenus dans le résonateur ajoute une énergie $n \hbar \frac{g^2}{\Delta}$ par photon, alors que si le qubit est dans l'état $|1\rangle$ alors cette énergie vaut $n \hbar \frac{g^2}{\Delta} + \hbar \frac{g^2}{\Delta}$. **La fréquence du résonateur dépend donc bien de l'état du qubit avec un « cavity pull ».**

Par ailleurs, on constate que l'état $|1\rangle$ du qubit a légèrement augmenté de $\frac{\hbar}{2} \frac{g^2}{\Delta}$. C'est ce qu'on appelle le « Lamb shift ». Il est dû aux fluctuations du vide dans le résonateur.

3.4. On se place dans la limite dispersive, c'est à dire que l'on a $\Delta = |\omega_q - \omega_r| \ll g$. Montrer que la fréquence de la cavité est donnée par $\omega_r \pm \chi$ selon que le qubit est dans $|0\rangle$ ou $|1\rangle$. Que vaut χ ? Construire un Hamiltonien effectif ayant les bonnes valeurs propres.



3.4. On se place dans la limite dispersive, c'est à dire que l'on a $\Delta = |\omega_q - \omega_r| \ll g$. Montrer que la fréquence de la cavité est donnée par $\omega_r \pm \chi$ selon que le qubit est dans $|0\rangle$ ou $|1\rangle$. Que vaut χ ? Construire un Hamiltonien effectif ayant les bonnes valeurs propres.

A partir de ces considérations, on peut construire un Hamiltonien effectif

$$\widetilde{H} = \hbar \left(\omega_r + \chi \hat{\sigma}_z \right) \hat{a}^\dagger \hat{a} - \frac{\hbar \widetilde{\omega}_q}{2} \hat{\sigma}_z \quad \text{avec} \quad \widetilde{\omega}_q = \omega_q + \frac{g^2}{\Delta}$$

3.5. Pourquoi dit-on que cette mesure est QND ?

3.4. On se place dans la limite dispersive, c'est à dire que l'on a $\Delta = |\omega_q - \omega_r| \ll g$. Montrer que la fréquence de la cavité est donnée par $\omega_r \pm \chi$ selon que le qubit est dans $|0\rangle$ ou $|1\rangle$. Que vaut χ ? Construire un Hamiltonien effectif ayant les bonnes valeurs propres.

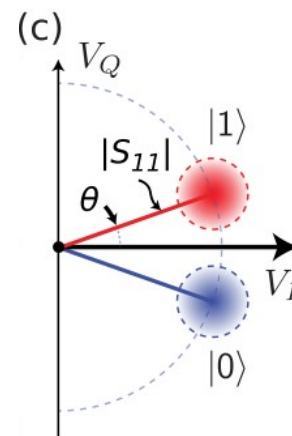
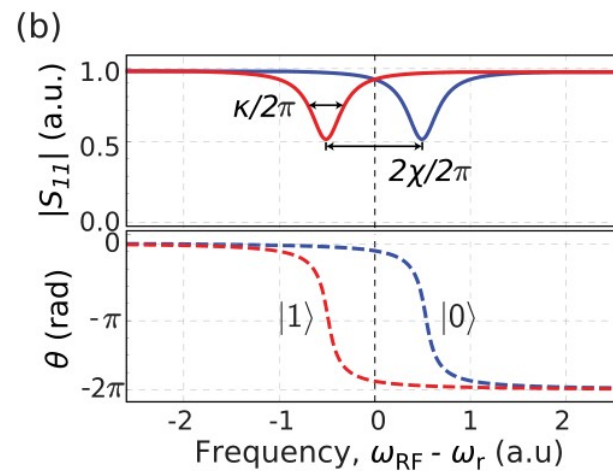
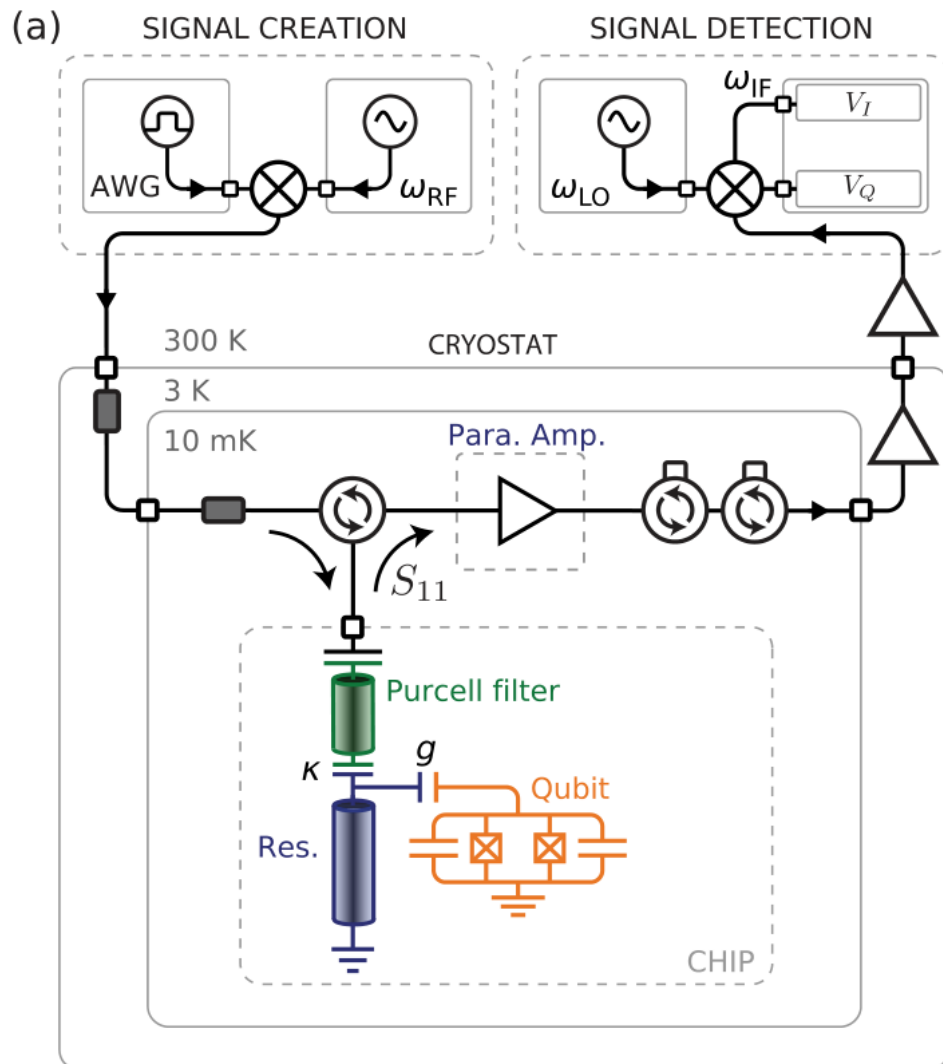
A partir de ces considérations, on peut construire un Hamiltonien effectif

$$\widetilde{H} = \hbar \left(\omega_r + \chi \hat{\sigma}_z \right) \hat{a}^\dagger \hat{a} - \frac{\hbar \widetilde{\omega}_q}{2} \hat{\sigma}_z \quad \text{avec} \quad \widetilde{\omega}_q = \omega_q + \frac{g^2}{\Delta}$$

3.5. Pourquoi dit-on que cette mesure est QND ?

Comme (le detuning) est grand le qubit ne peut pas laisser son énergie échapper dans la cavité, il reste donc dans l'état si la mesure l'y a projeté. De même s'il est projeté dans l'état, il y reste car les photons du résonateur ne peuvent pas venir le peupler.

Commen fait-on en pratique ?



3.6. Montrer que l'on peut également utiliser le qubit pour mesurer le nombre de photons dans la cavité. Quel critère est selon vous nécessaire pour que cela soit possible ?

On a

$$\tilde{H} = \hbar (\omega_r + \chi \hat{\sigma}_z) \hat{a}^\dagger \hat{a} - \frac{\hbar \tilde{\omega}_q}{2} \hat{\sigma}_z \quad \text{avec} \quad \tilde{\omega}_q = \omega_q + \frac{g^2}{\Delta}$$

3.6. Montrer que l'on peut également utiliser le qubit pour mesurer le nombre de photons dans la cavité. Quel critère est selon vous nécessaire pour que cela soit possible ?

On a

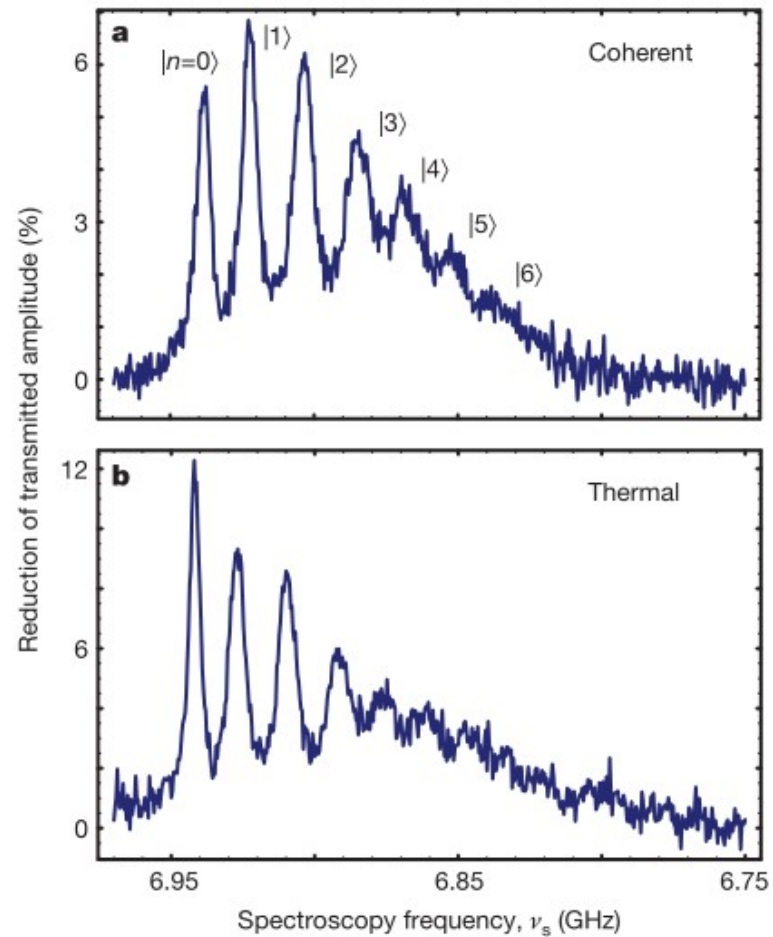
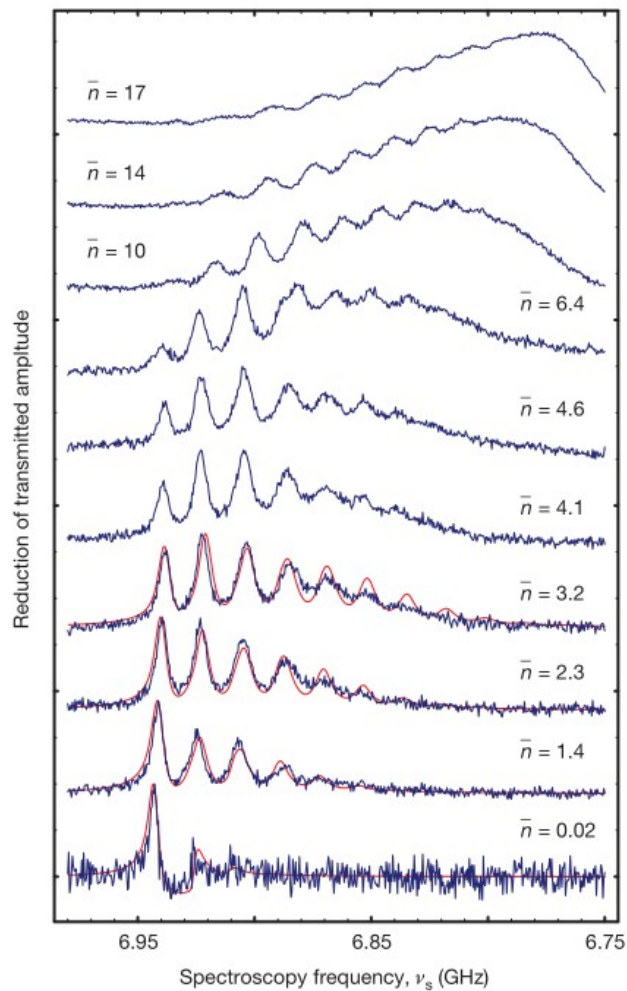
$$\tilde{H} = \hbar (\omega_r + \chi \hat{\sigma}_z) \hat{a}^\dagger \hat{a} - \frac{\hbar \tilde{\omega}_q}{2} \hat{\sigma}_z \quad \text{avec} \quad \tilde{\omega}_q = \omega_q + \frac{g^2}{\Delta}$$

que l'on peut réécrire

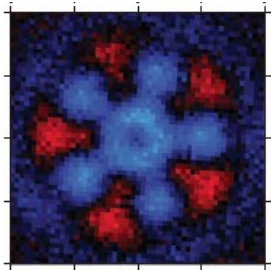
$$\tilde{H} = \hbar \omega_r \hat{a}^\dagger \hat{a} - \frac{\hbar (\tilde{\omega}_q + 2\chi \hat{a}^\dagger \hat{a})}{2} \hat{\sigma}_z \quad \text{avec} \quad \tilde{\omega}_q = \omega_q + \frac{g^2}{\Delta}$$

Dans cette écriture, on voit que l'énergie correspondant à la transition en 0 et 1 dépend du nombre de photons dans le résonateur.

Compter les photons



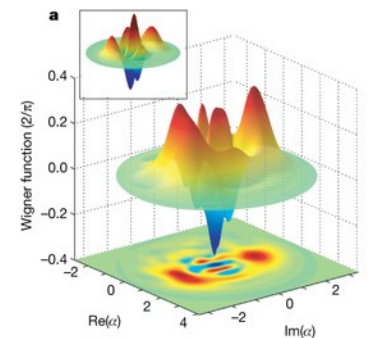
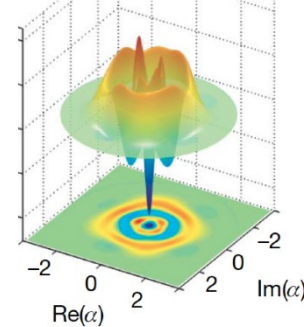
Fock states and superpositions



$$|0\rangle + |5\rangle$$

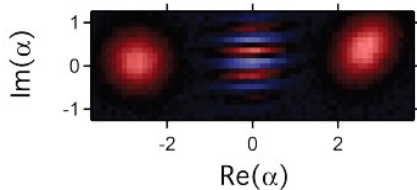
M. Hofheinz *et al.*,
Nature 2010

Cavity QED (Haroche, Paris)



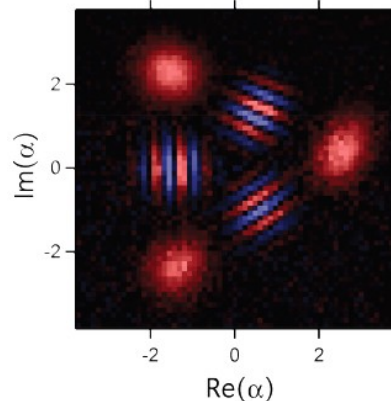
Schr dinger cats

$$|\alpha\rangle + |-\alpha\rangle$$



G. Kirchmair *et al.*,
Nature 2013

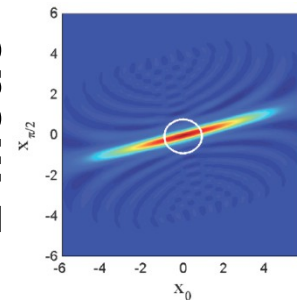
$$|\alpha\rangle + |e^{i\frac{2\pi}{3}}\alpha\rangle + |e^{i\frac{4\pi}{3}}\alpha\rangle$$



Squeezed vacuum state

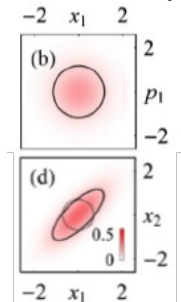
$$e^{ra^{\dagger 2} - r^*a^2}|0\rangle \quad e^{ra^{\dagger}b^{\dagger} - r^*ab}|0,0\rangle$$

1-mode



F. Mallet *et al.*,
PRL 2011

2-mode



C. Eichler *et al.*,
PRL 2011